

Bild 1: Phase 1 - Verformtes Netz - Gesamtverschiebung $1.57 \times 10^{-3} m$

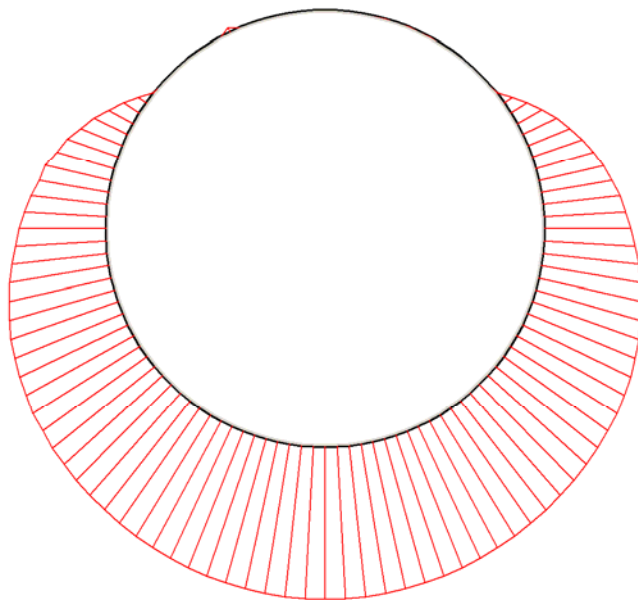


Bild 2: Phase 1 - Effektive Spannungen zw. Rohr und Boden - Höchstwert $22.99 kN / m^2$

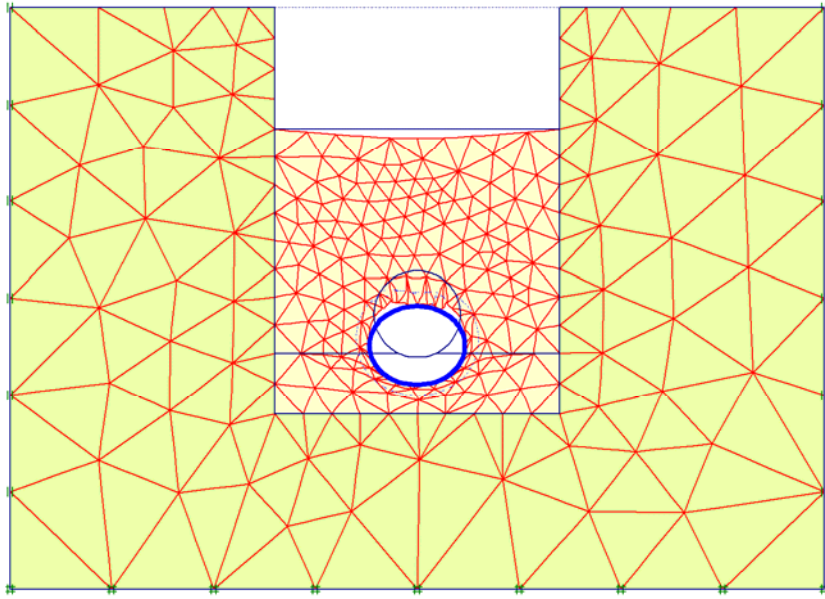


Bild 3: Phase 2 - Verformtes Netz - Gesamtverschiebung $172.43 \times 10^{-3} m$

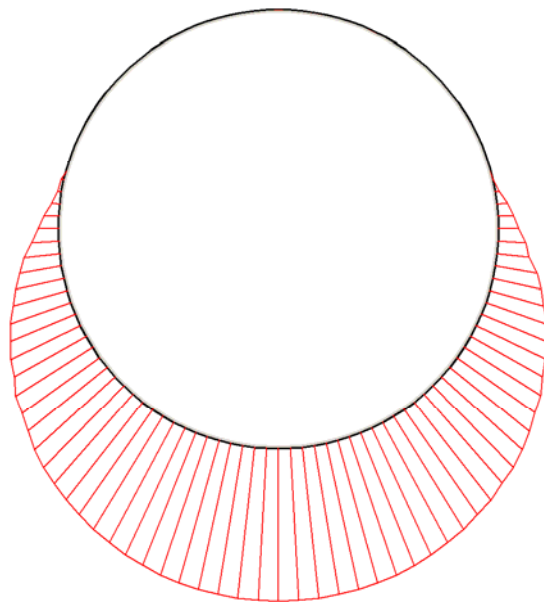


Bild 4: Phase 2 - Effektive Spannungen zw. Rohr und Boden - Höchstwert $171.30 kN / m^2$

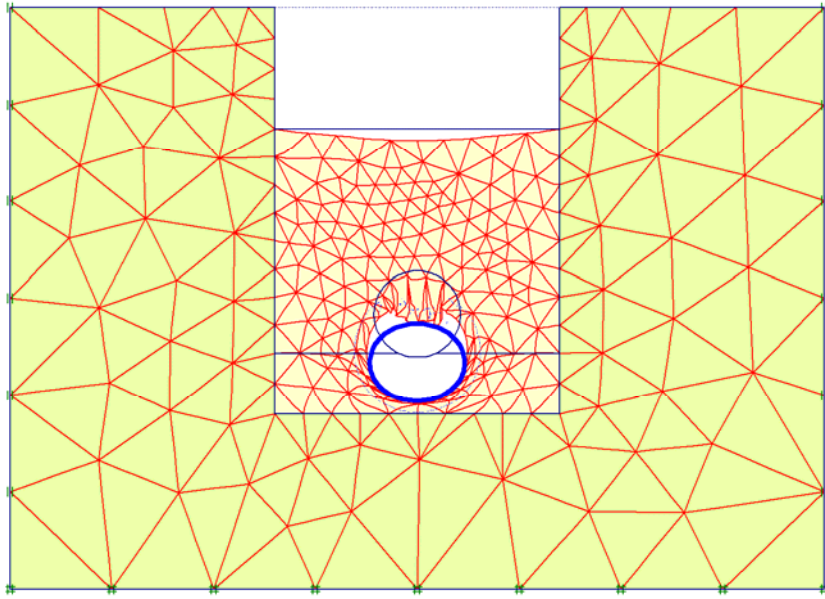


Bild 5: Phase 3 - Verformtes Netz - Gesamtverschiebung $129.05 \times 10^{-3} m$

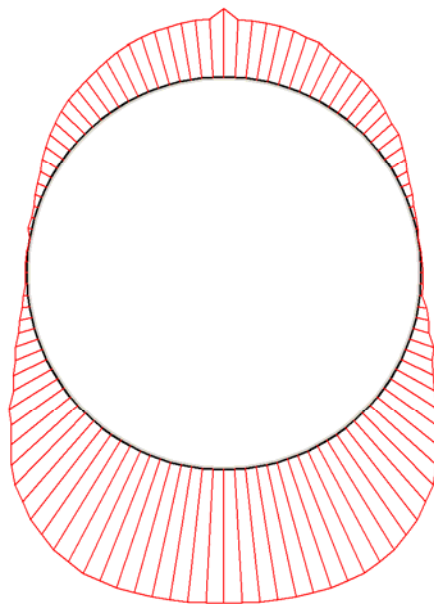


Bild 6: Phase 3 - Effektive Spannungen zw. Rohr und Boden - Höchstwert $46.04 kN / m^2$

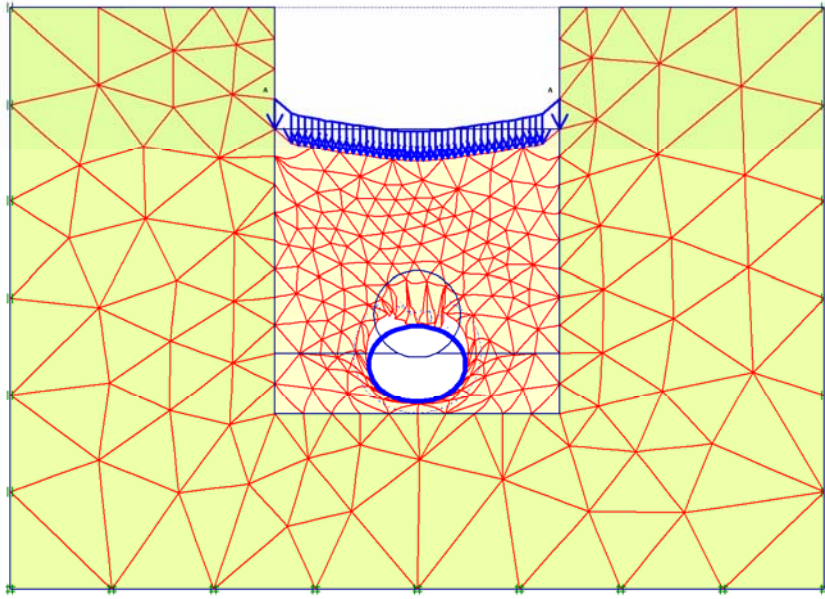


Bild 7: Phase 4 - Verformtes Netz - Gesamtverschiebung $135.13 \times 10^{-3} m$

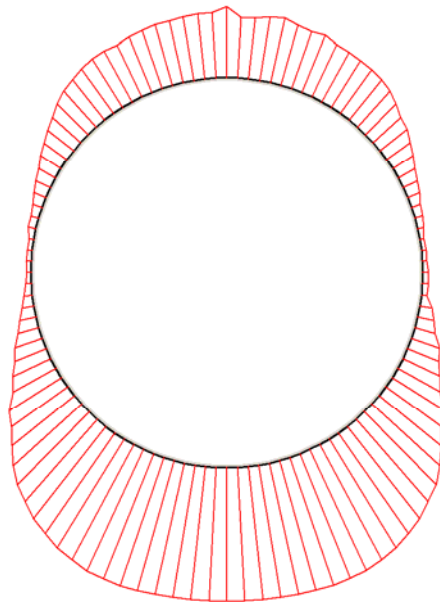


Bild 8: Phase 4 - Effektive Spannungen zw. Rohr und Boden - Höchstwert $54.10 kN / m^2$

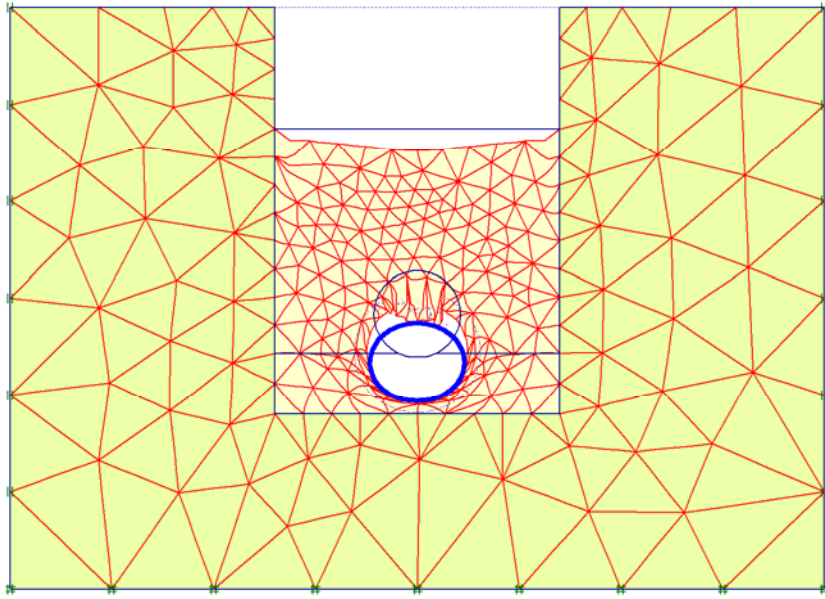


Bild 9: Phase 5 - Verformtes Netz - Gesamtverschiebung $128.15 \times 10^{-3} m$

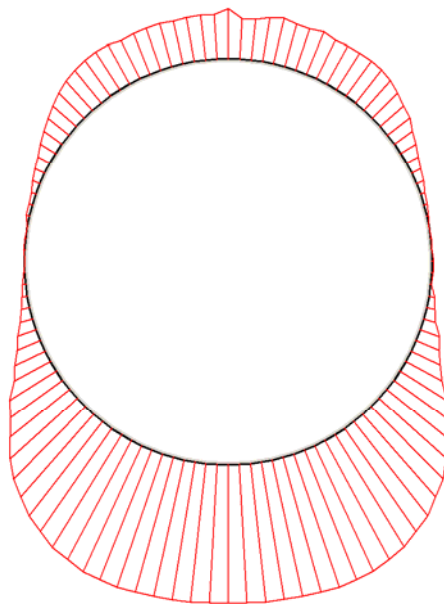


Bild 10: Phase 5 - Effektive Spannungen zw. Rohr und Boden - Höchstwert $45.58 kN / m^2$

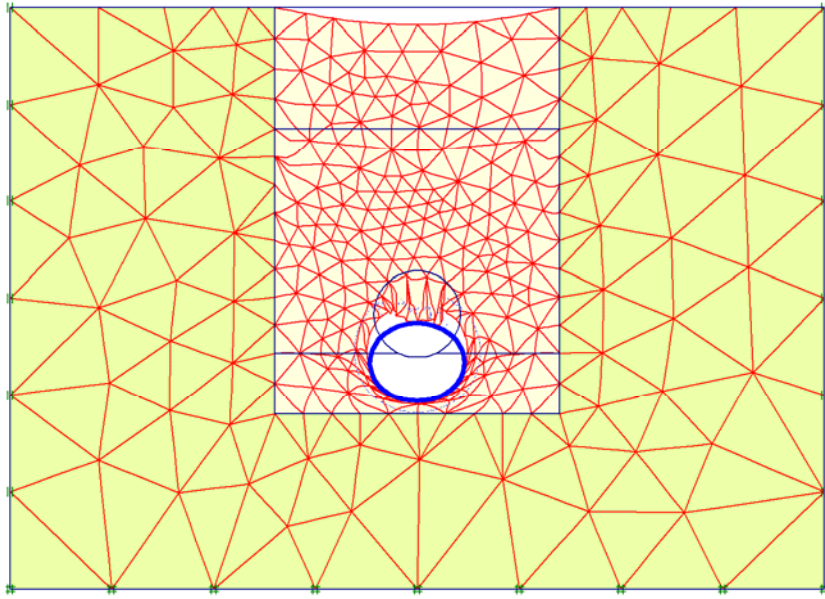


Bild 11: Phase 6 - Verformtes Netz - Gesamtverschiebung $128.24 \times 10^{-3} m$

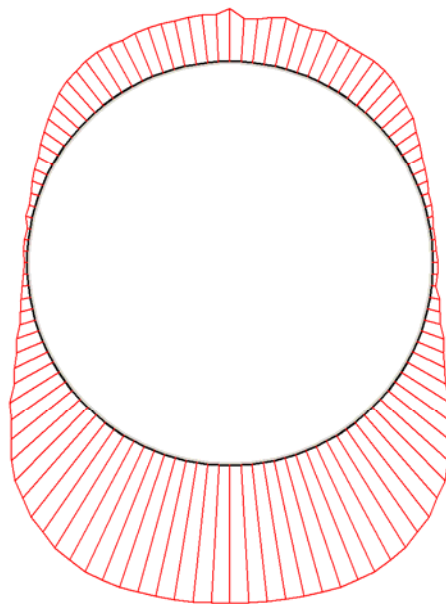


Bild 12: Phase 6 - Effektive Spannungen zw. Rohr und Boden - Höchstwert $46.37 kN / m^2$

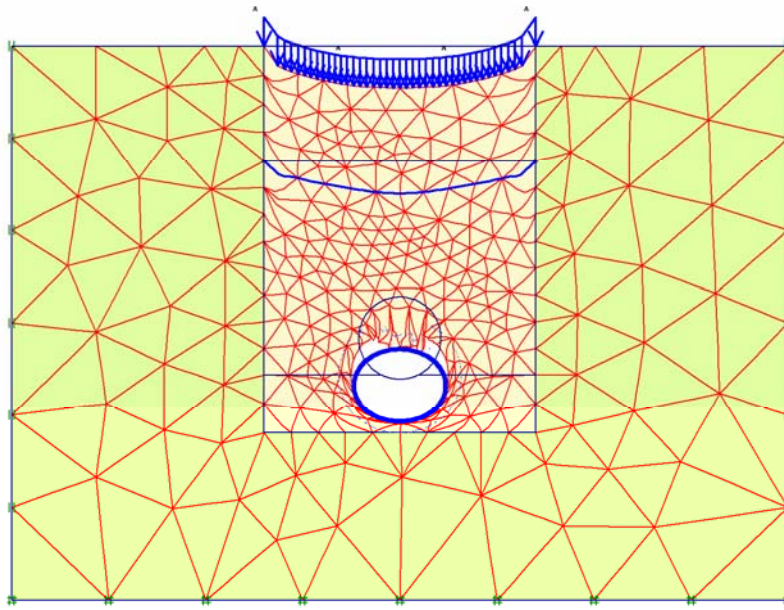


Bild 13: Phase 7 - Verformtes Netz - Gesamtverschiebung $134.58 \times 10^{-3} m$

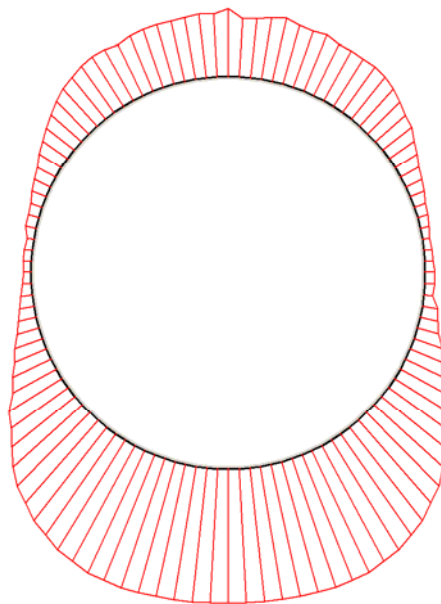


Bild 14: Phase 7 - Effektive Spannungen zw. Rohr und Boden - Höchstwert $54.37 kN / m^2$

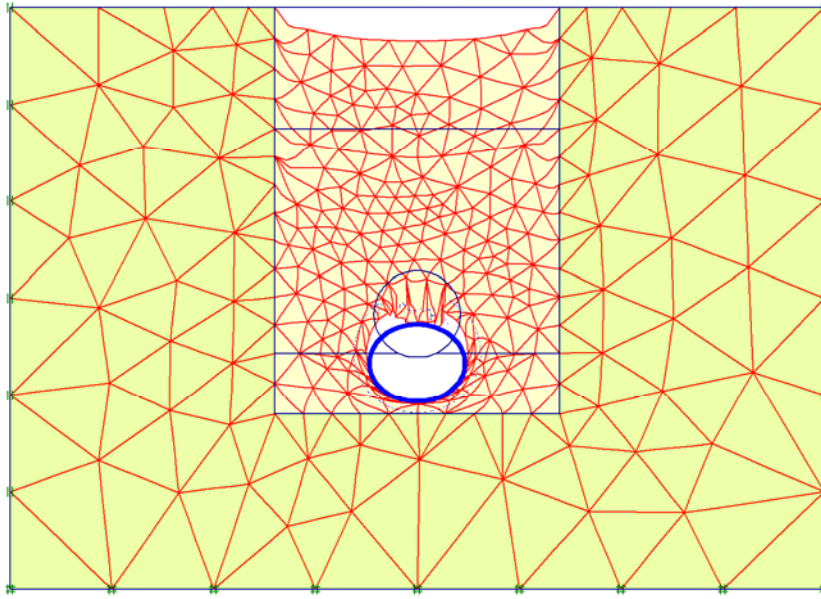


Bild 15: Phase 8 - Verformtes Netz - Gesamtverschiebung $131.34 \times 10^{-3} m$

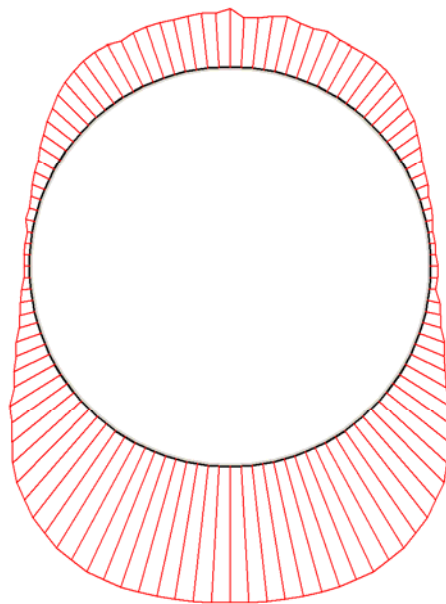


Bild 16: Phase 8 - Effektive Spannungen zw. Rohr und Boden - Höchstwert $50.29 kN / m^2$

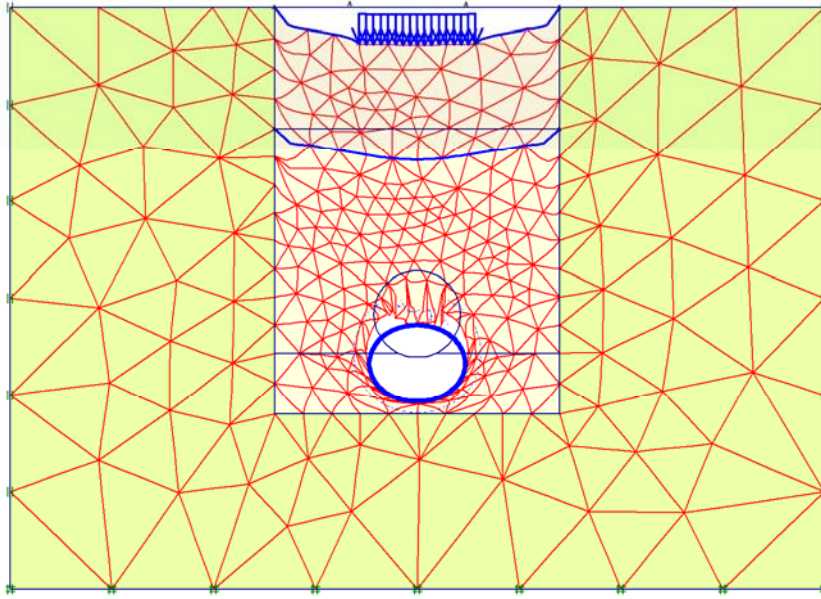


Bild 17: Phase 9 - Verformtes Netz - Gesamtverschiebung $133.15 \times 10^{-3} m$

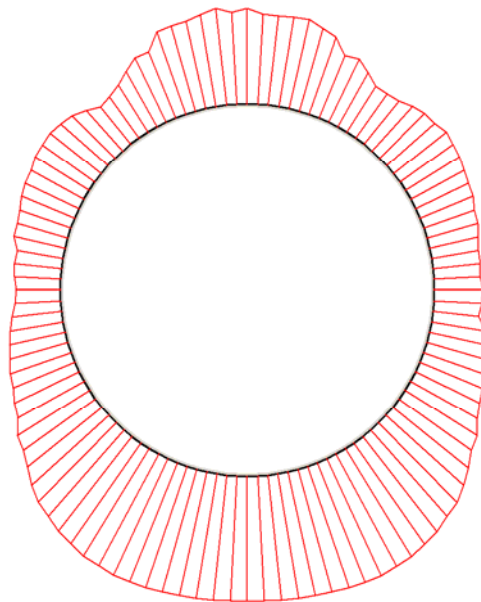


Bild 18: Phase 9 - Effektive Spannungen zw. Rohr und Boden - Höchstwert $63.71 kN / m^2$

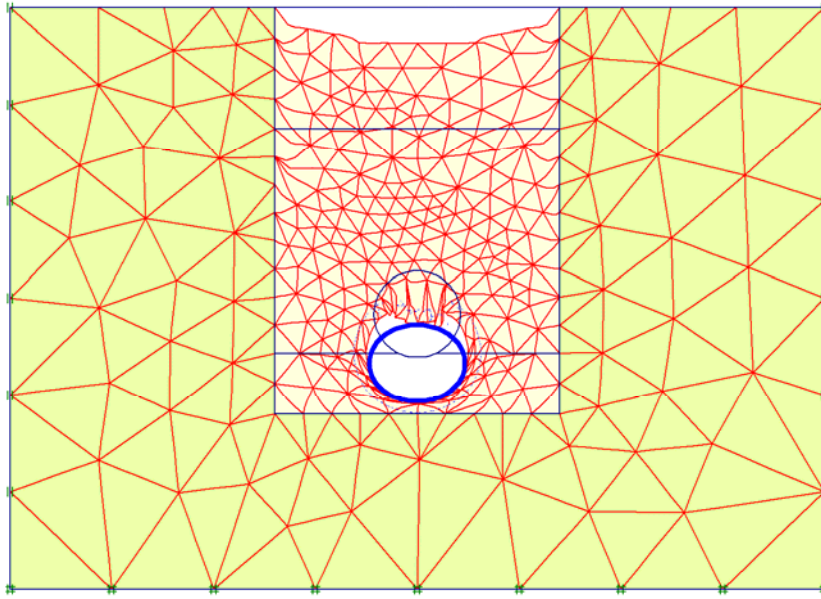


Bild 19: Phase 10 - Verformtes Netz - Gesamtverschiebung $132.21 \times 10^{-3} m$

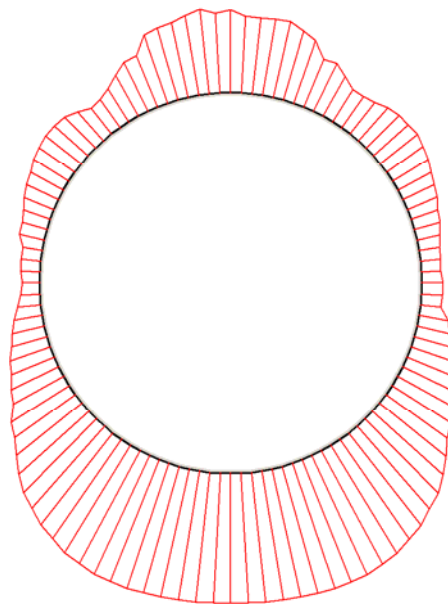


Bild 20: Phase 10 - Effektive Spannungen zw. Rohr und Boden - Höchstwert $53.56 kN / m^2$

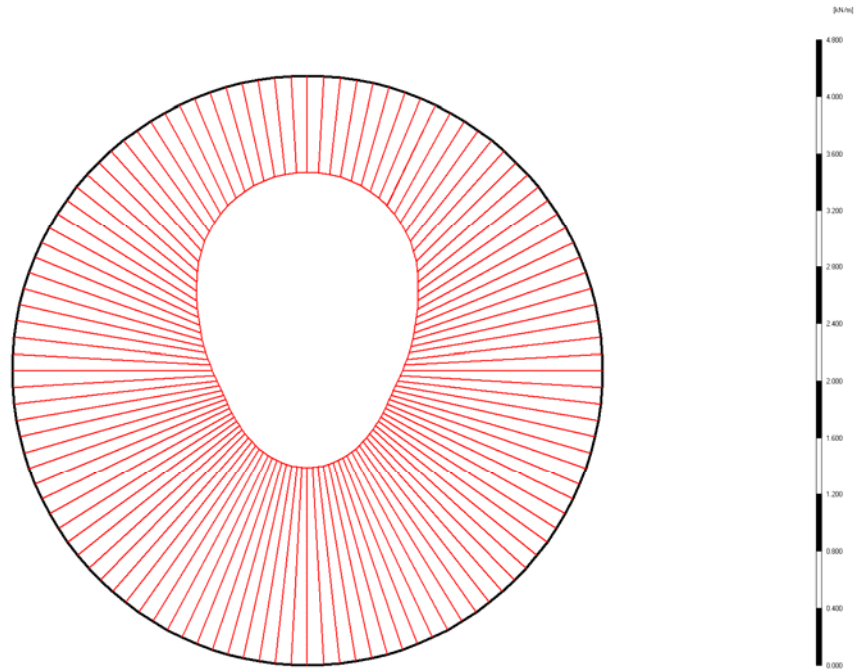


Bild 21: Phase 1 - Normalkraftverlauf im Rohr - Höchstwert $1.46 \text{ kN} / m$

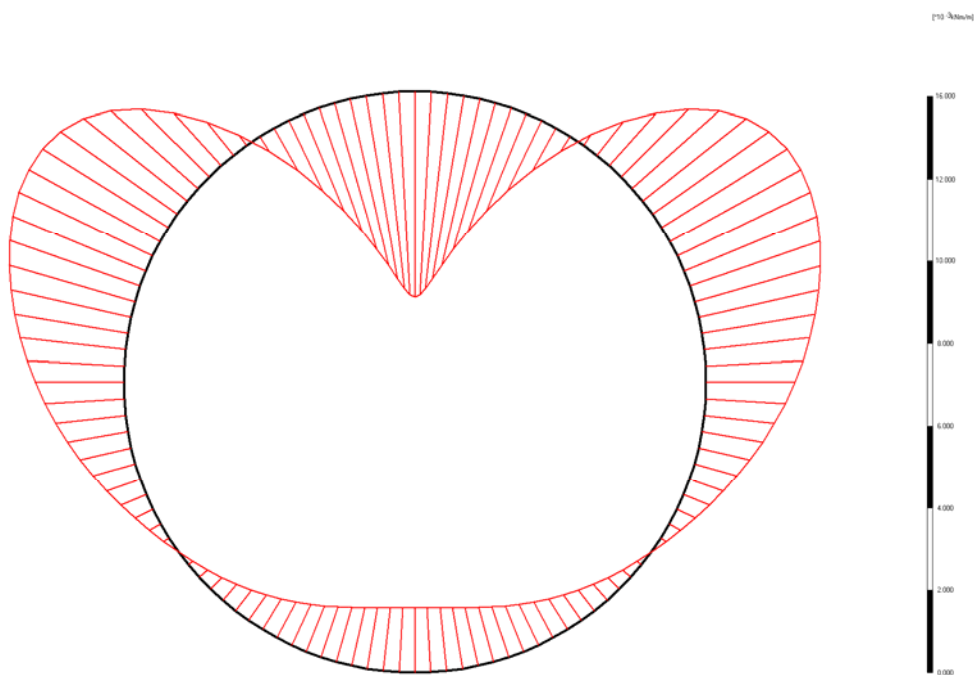


Bild 22: Phase 1 - Biegemomentenverlauf im Rohr - Höchstwert $-4.98 \times 10^{-3} \text{ kNm} / m$

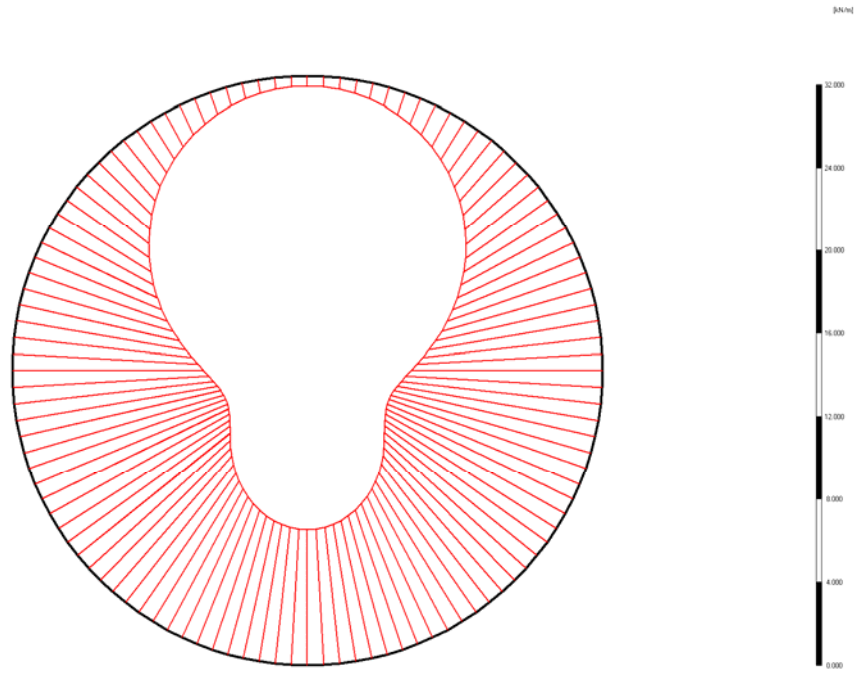


Bild 23: Phase 2 - Normalkraftverlauf im Rohr - Höchstwert $10.06 \text{ kN} / m$

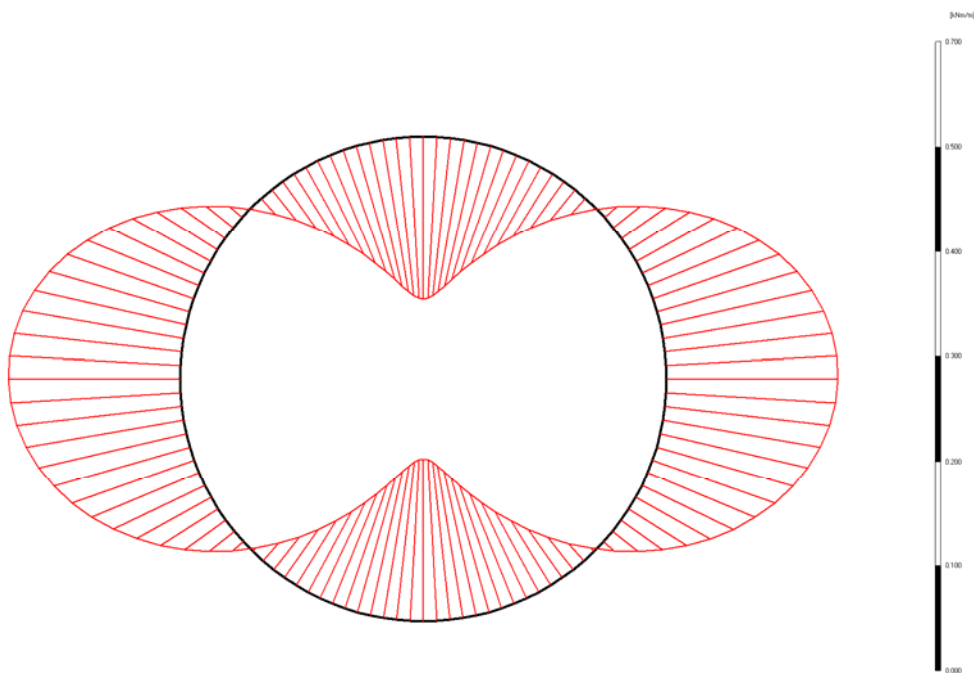


Bild 24: Phase 2 - Biegemomentenverlauf im Rohr - Höchstwert $163.39 \times 10^{-3} \text{ kNm} / m$

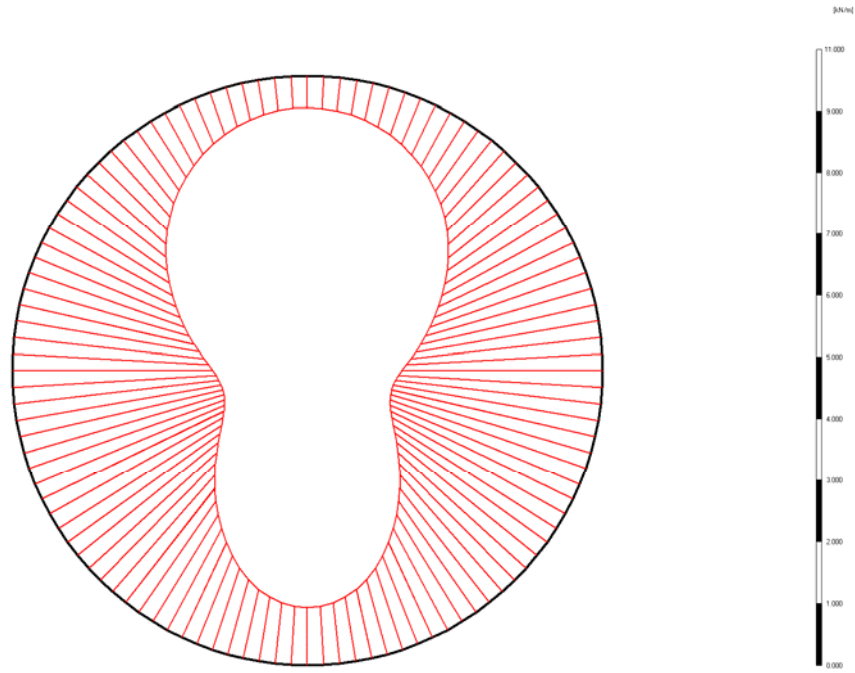


Bild 25: Phase 3 - Normalkraftverlauf im Rohr - Höchstwert $-3.37 \text{ kN} / \text{m}$

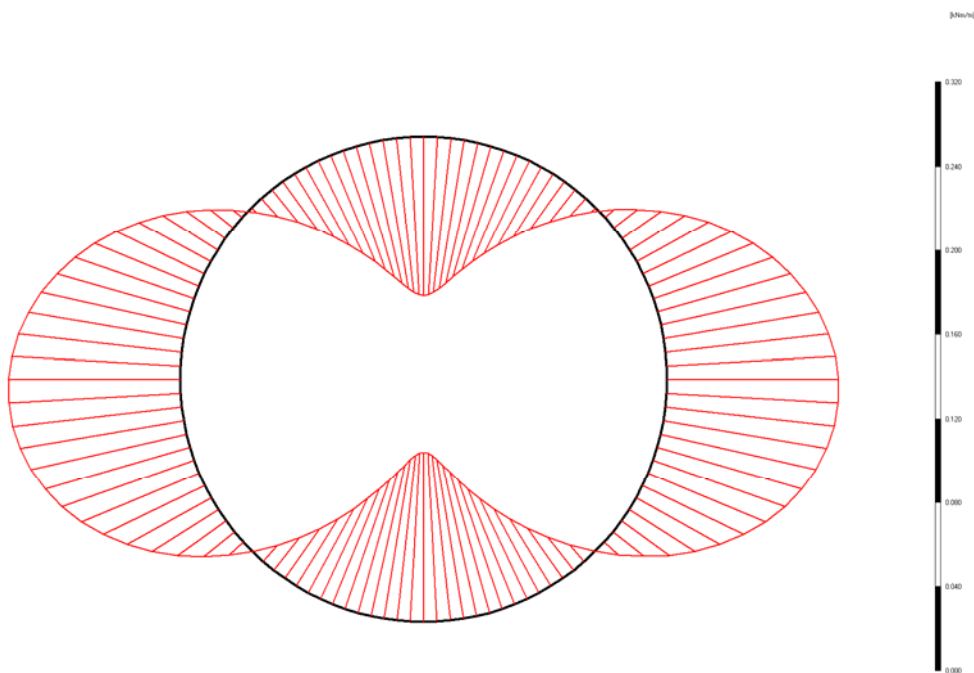


Bild 26: Phase 3 - Biegemomentenverlauf im Rohr - Höchstwert $81.79 \times 10^{-3} \text{ kNm} / \text{m}$

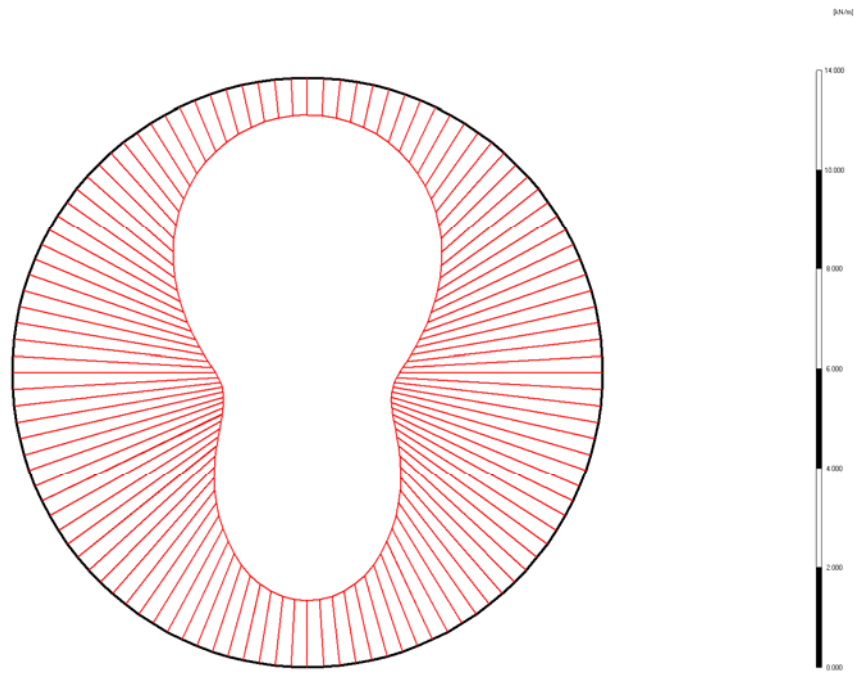


Bild 27: Phase 4 - Normalkraftverlauf im Rohr - Höchstwert $-4.19 \text{ kN} / m$

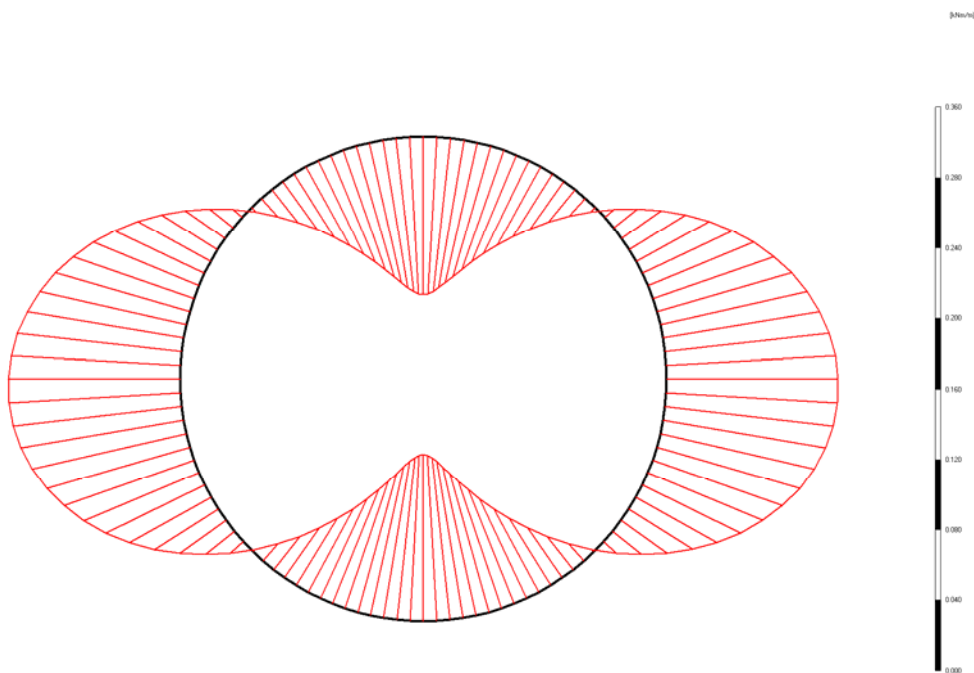


Bild 28: Phase 4 - Biegemomentenverlauf im Rohr - Höchstwert $97.46 \times 10^{-3} \text{ kNm} / m$

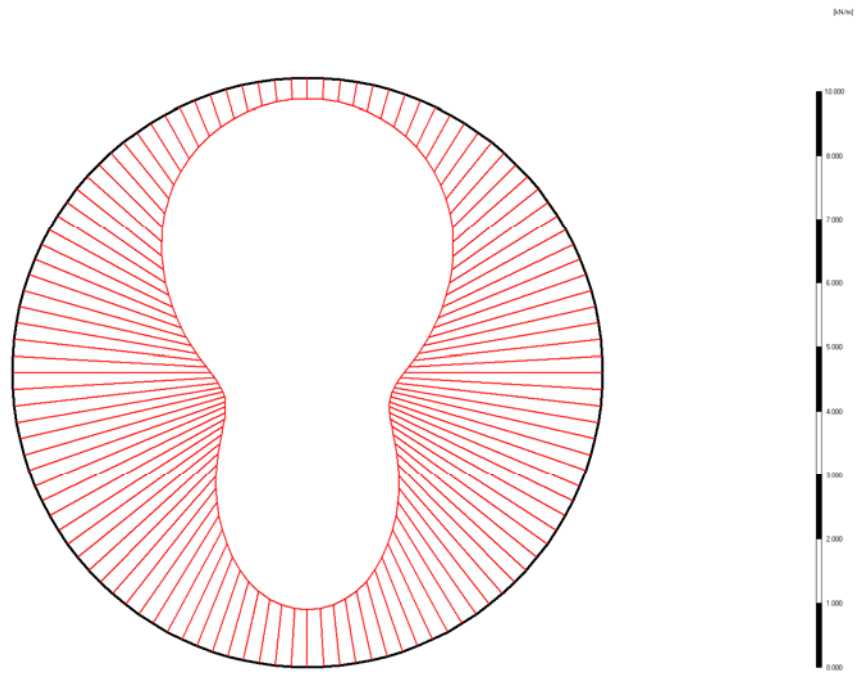


Bild 29: Phase 5 - Normalkraftverlauf im Rohr - Höchstwert $-3.27 \text{ kN} / \text{m}$

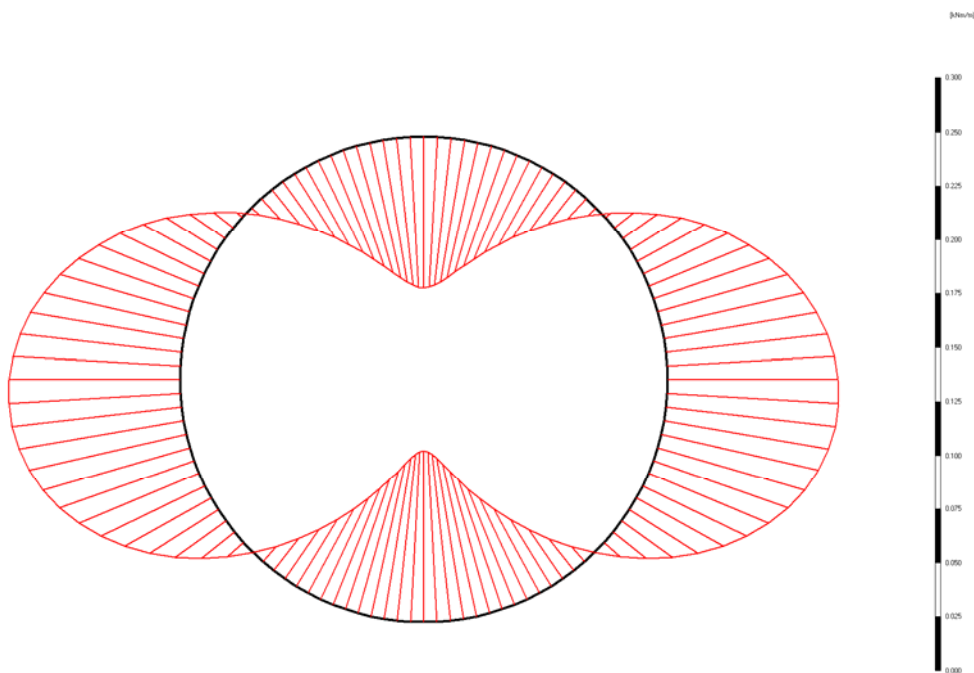


Bild 30: Phase 5 - Biegemomentenverlauf im Rohr - Höchstwert $-79.60 \times 10^{-3} \text{ kNm} / \text{m}$

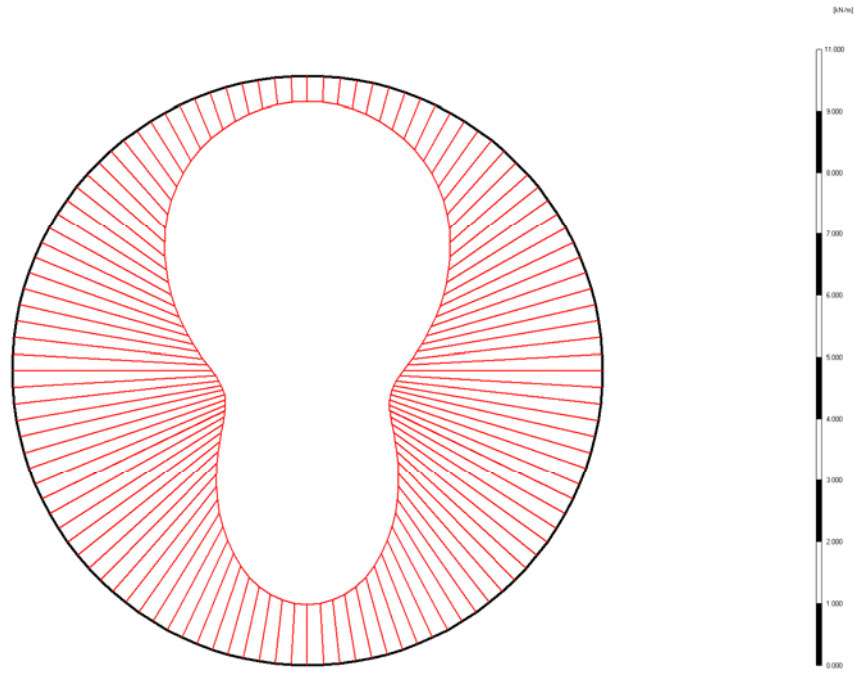


Bild 31: Phase 6 - Normalkraftverlauf im Rohr - Höchstwert $-3.39 \text{ kN} / m$

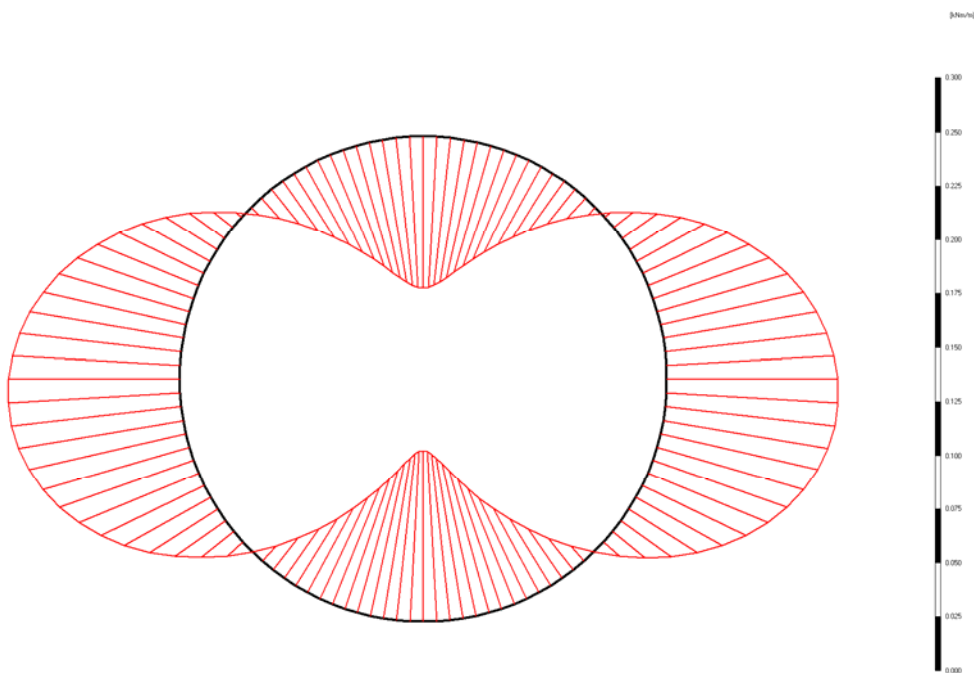


Bild32: Phase 6 - Biegemomentenverlauf im Rohr - Höchstwert $79.79 \times 10^{-3} \text{ kNm} / m$

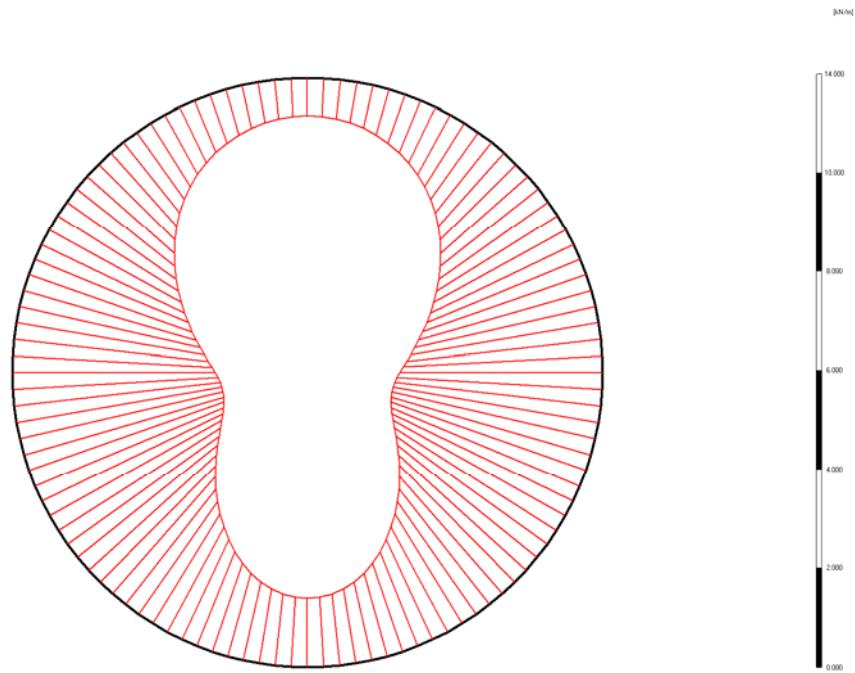


Bild 33: Phase 7 - Normalkraftverlauf im Rohr - Höchstwert $-4.22 \text{ kN} / \text{m}$

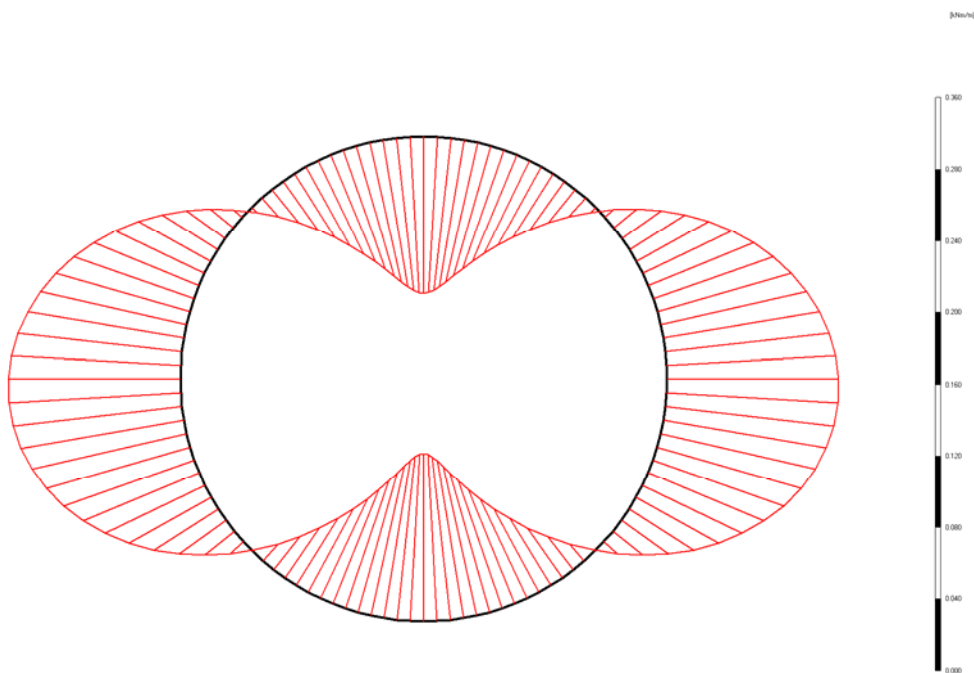


Bild 34: Phase 7 - Biegemomentenverlauf im Rohr - Höchstwert $95.63 \times 10^{-3} \text{ kNm} / \text{m}$

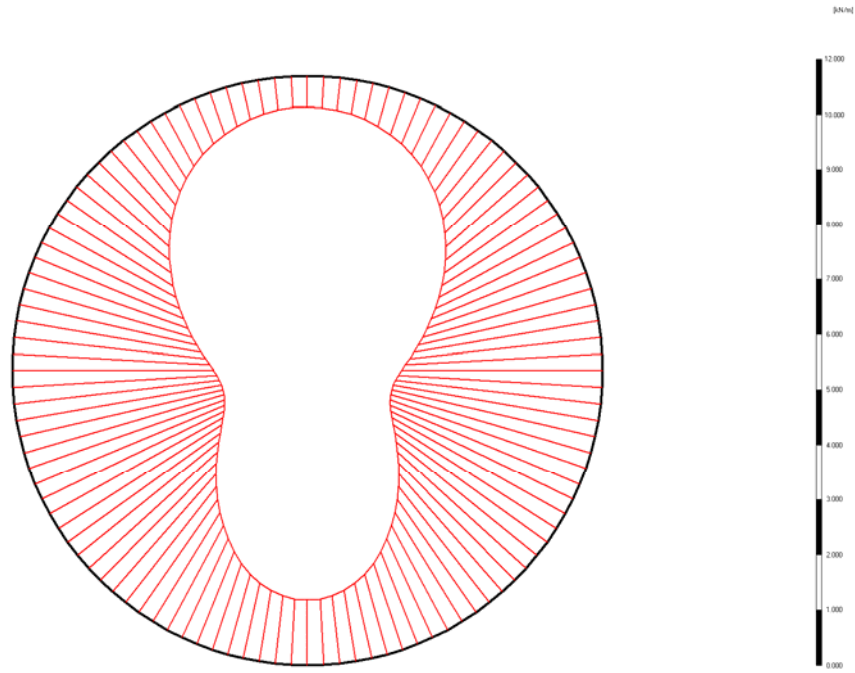


Bild 35: Phase 8 - Normalkraftverlauf im Rohr - Höchstwert $-3.79 \text{ kN} / \text{m}$

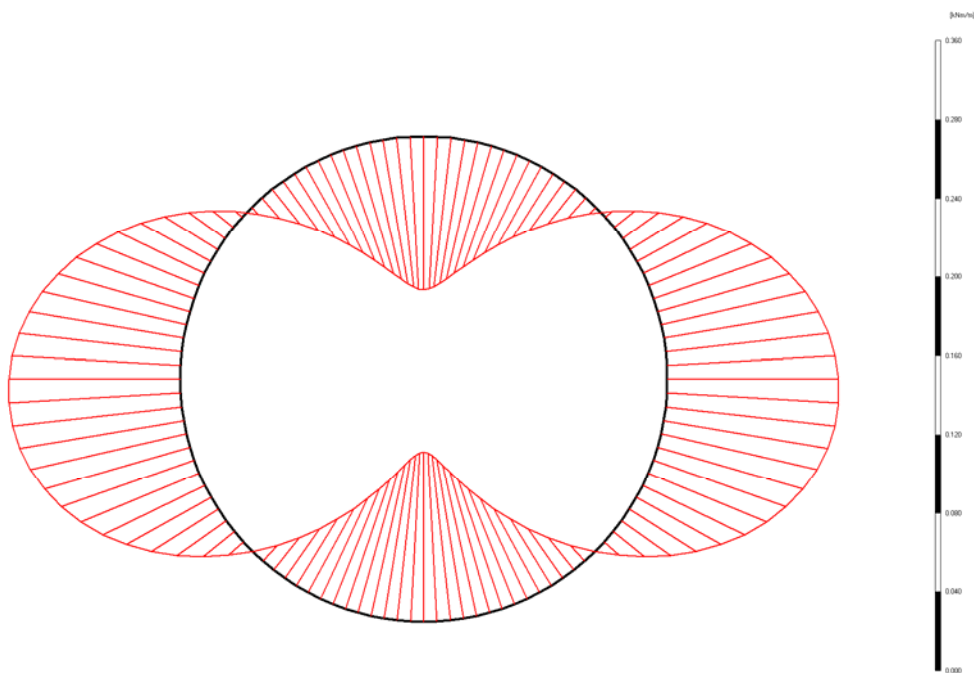


Bild 36: Phase 8 - Biegemomentenverlauf im Rohr - Höchstwert $87.49 \times 10^{-3} \text{ kNm} / \text{m}$

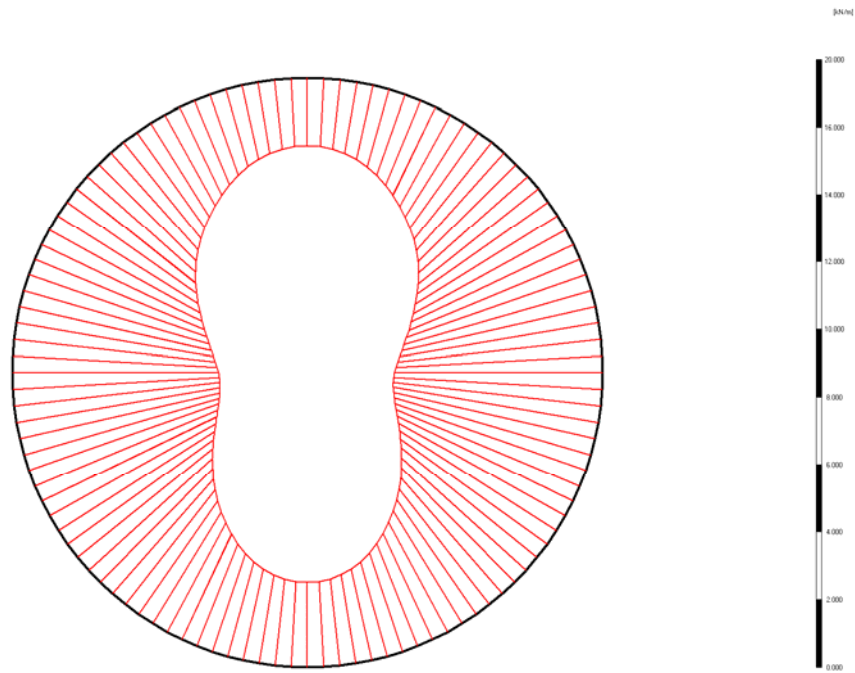


Bild 37: Phase 9 - Normalkraftverlauf im Rohr - Höchstwert $-6.15 \text{ kN} / \text{m}$

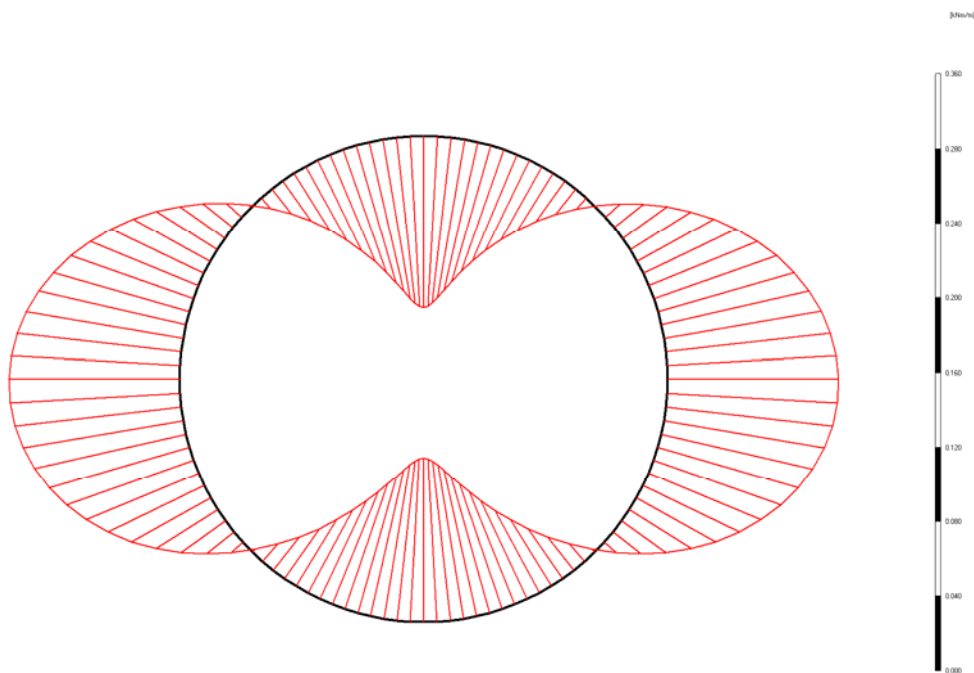


Bild 38: Phase 9 - Biegemomentenverlauf im Rohr - Höchstwert $-92.31 \times 10^{-3} \text{ kNm} / \text{m}$

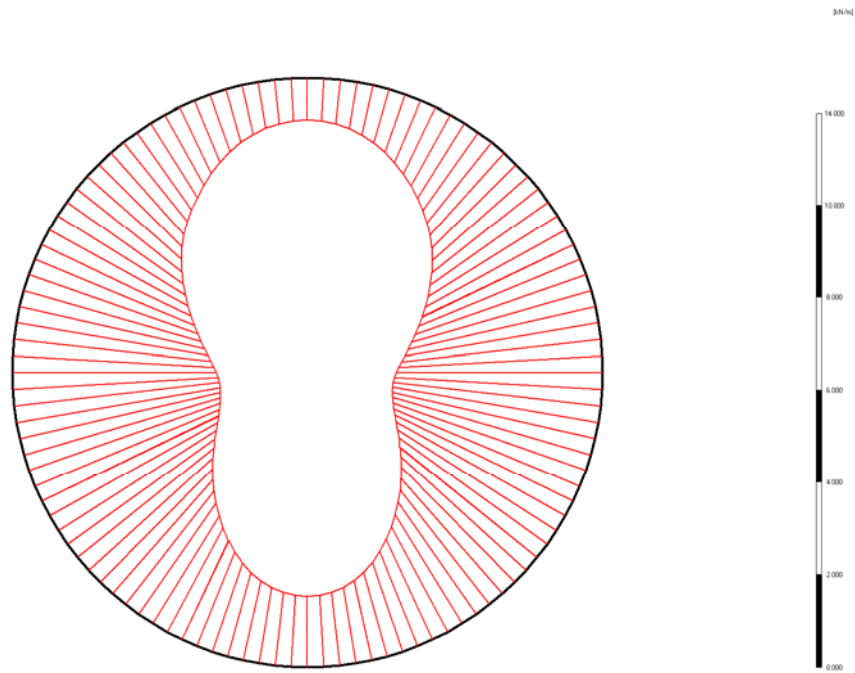


Bild 39: Phase 10 - Normalkraftverlauf im Rohr - Höchstwert $-4.51 \text{ kN} / m$

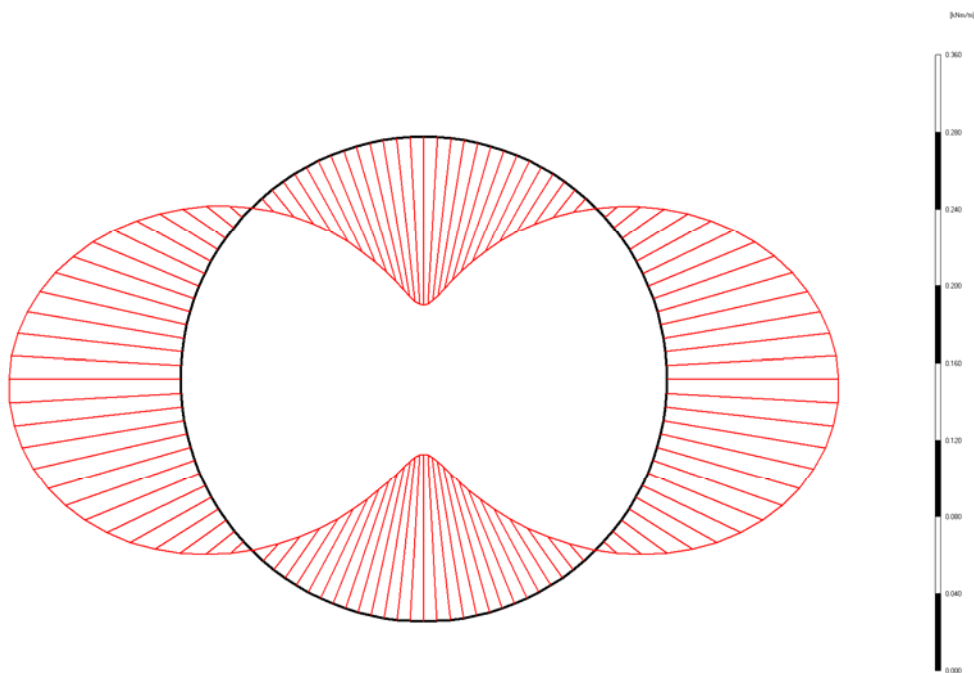


Bild 40: Phase 10 - Biegemomentenverlauf im Rohr - Höchstwert $89.10 \times 10^{-3} \text{ kNm} / m$

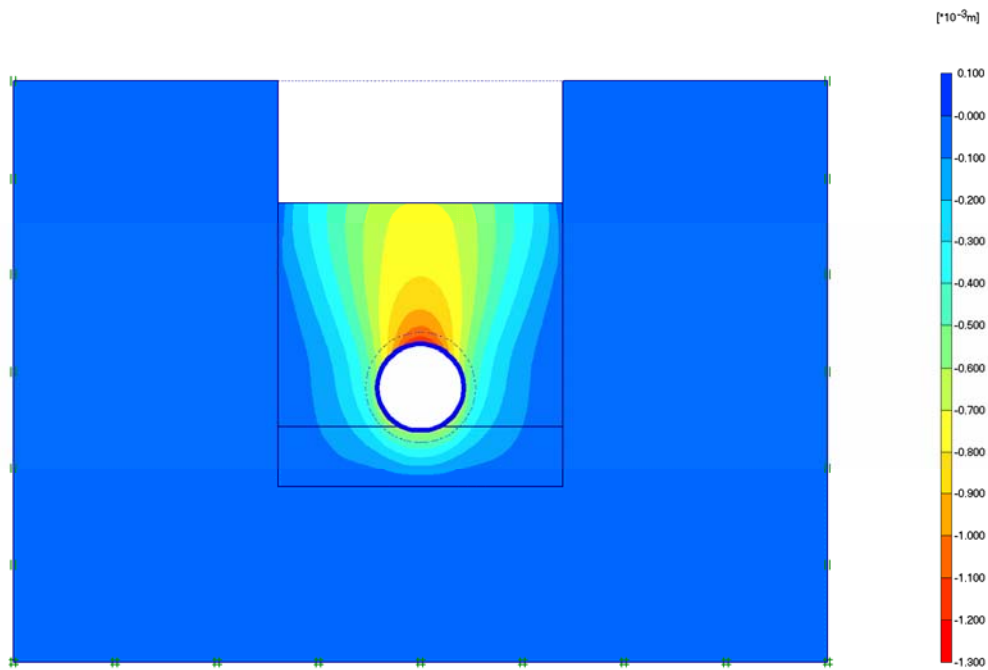


Bild 41: Phase 1 - Vertikalverschiebungen - Höchstwert $-1.27 \times 10^{-3} m$

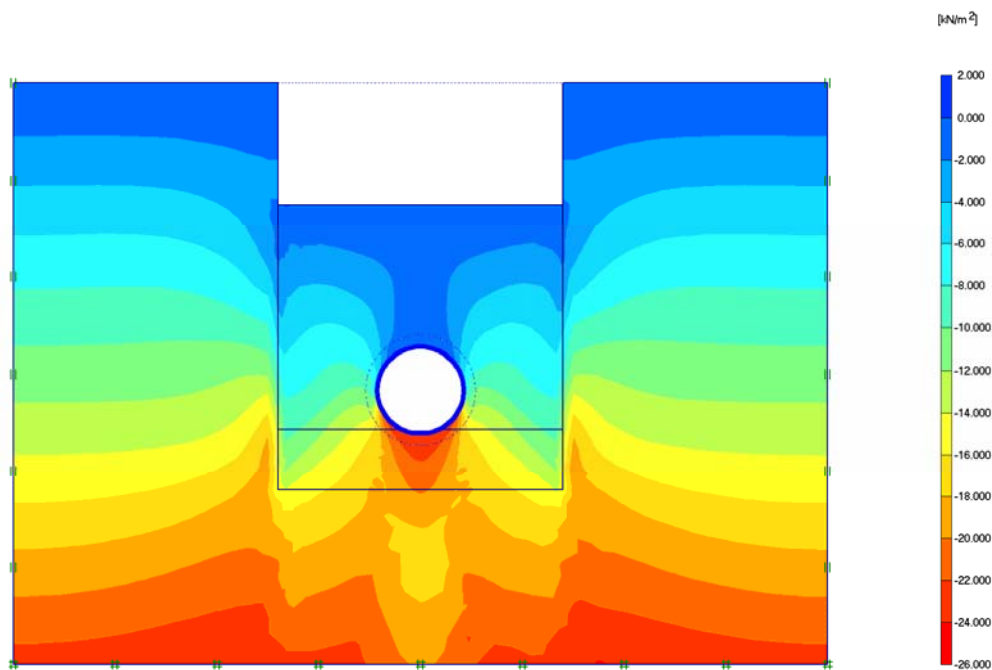


Bild 42: Phase 1 - Vertikale effektive Spannungen - Höchstwert $-24.18 kN/m^2$

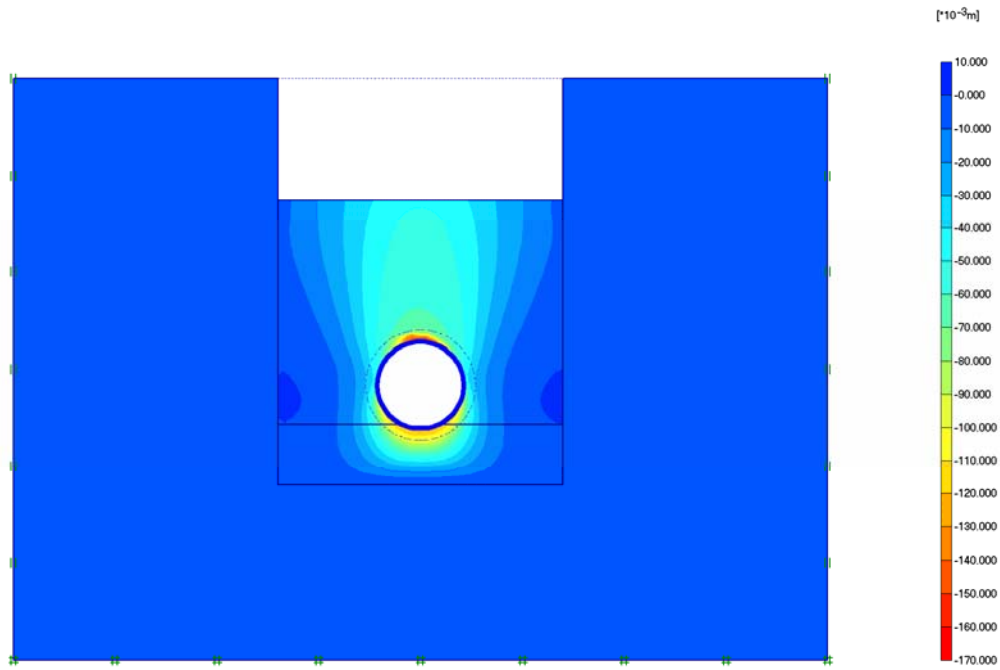


Bild 43: Phase 2 - Vertikalverschiebungen - Höchstwert $-166.35 \times 10^{-3} \text{ m}$

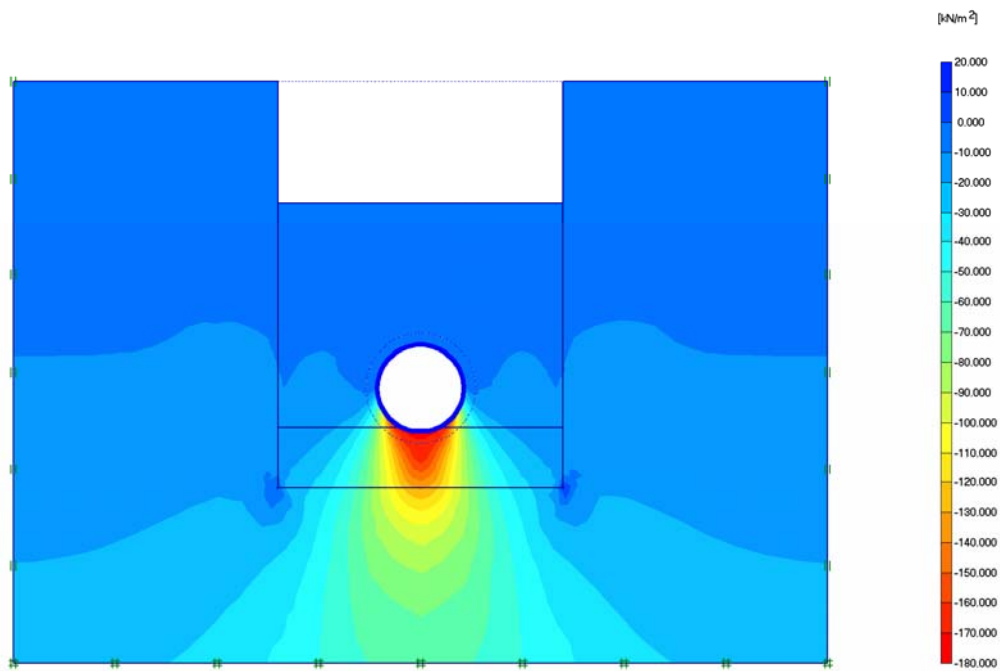


Bild 44: Phase 2 - Vertikale effektive Spannungen - Höchstwert -173.09 kN/m^2

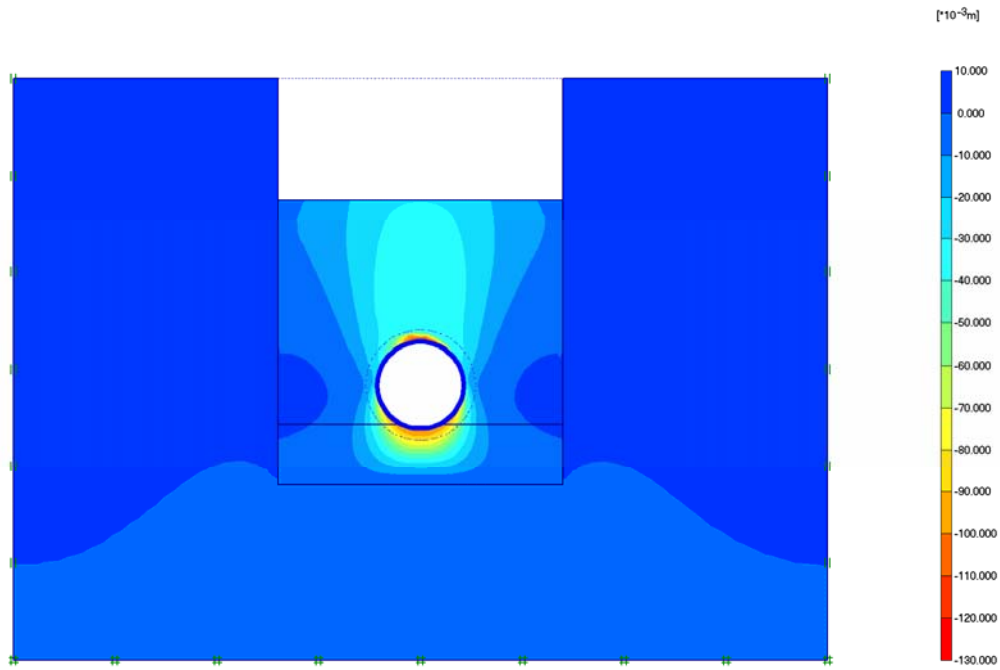


Bild 45: Phase 3 - Vertikalverschiebungen - Höchstwert $-126.16 \times 10^{-3}m$

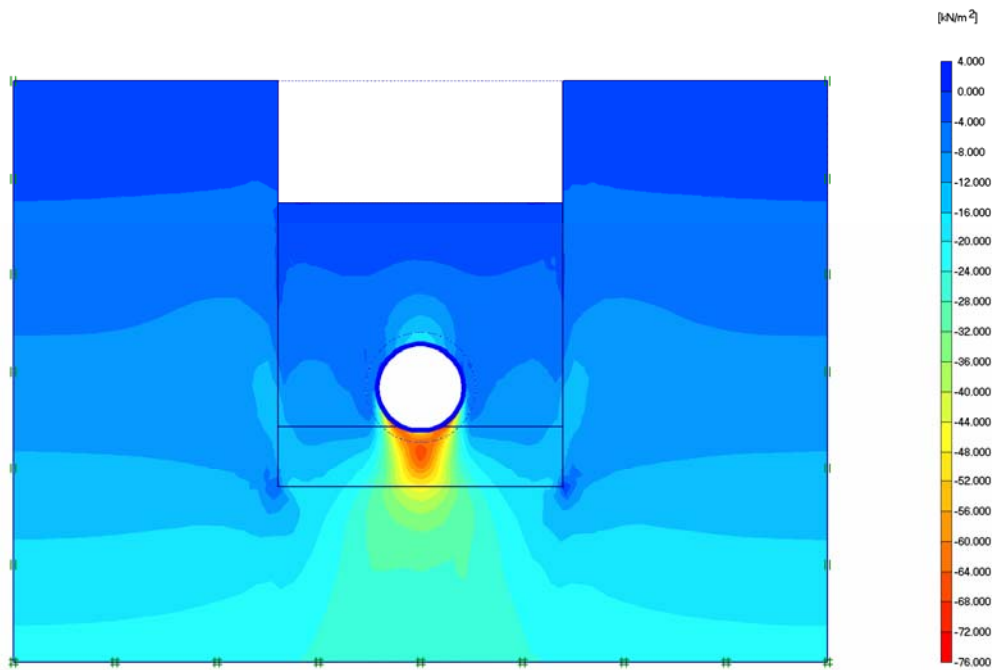


Bild 46: Phase 3 - Vertikale effektive Spannungen - Höchstwert $-71.97 kN/m^2$

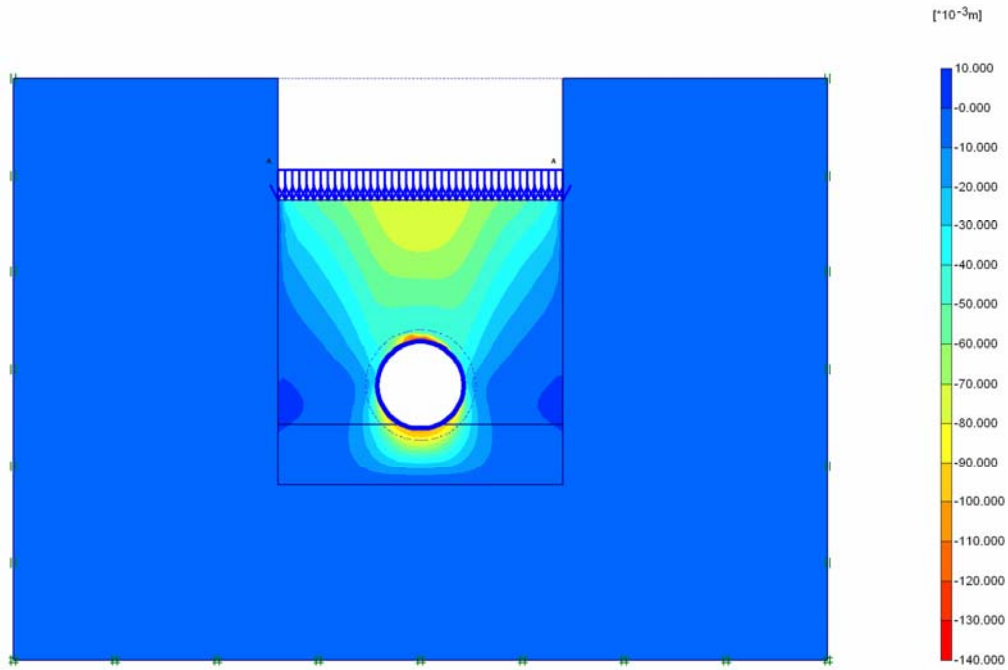


Bild 47: Phase 4 - Vertikalverschiebungen - Höchstwert $-132.63 \times 10^{-3} \text{ m}$

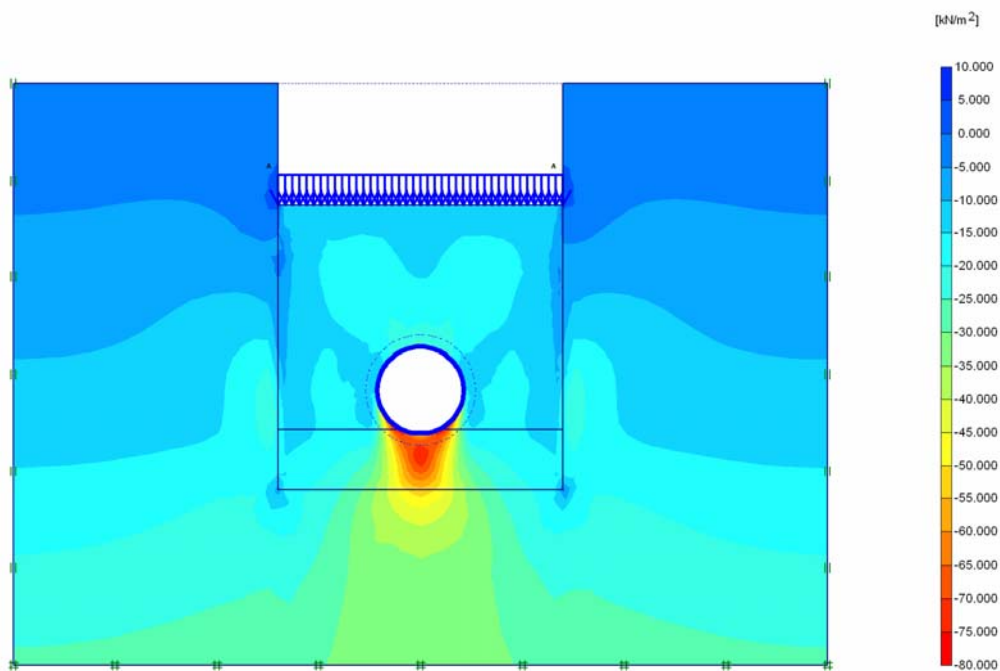


Bild 48: Phase 4 - Vertikale effektive Spannungen - Höchstwert -78.17 kN/m^2

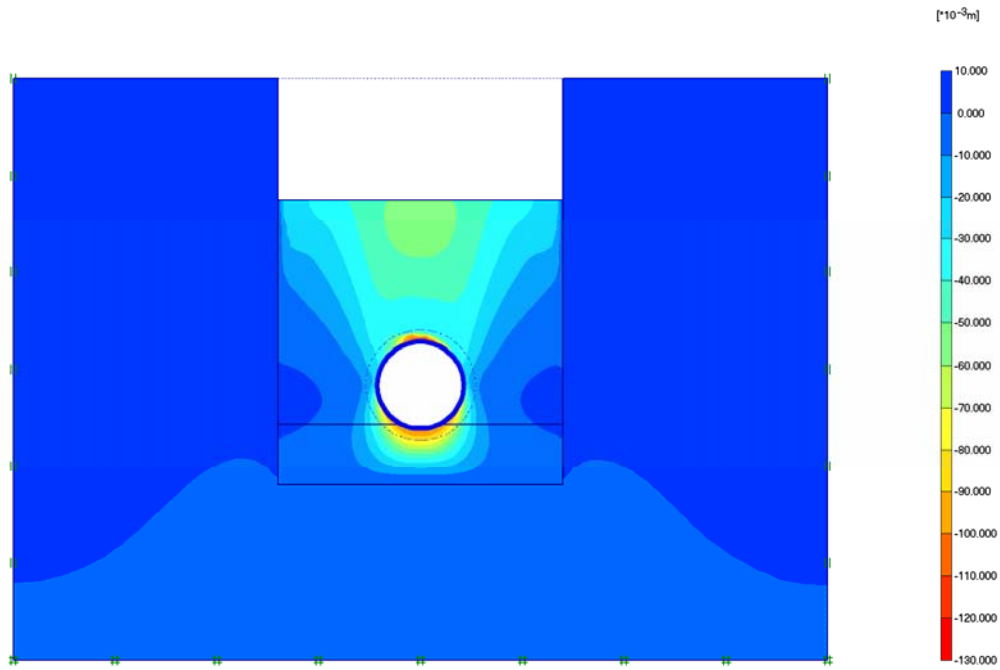


Bild 49: Phase 5 - Vertikalverschiebungen - Höchstwert $-124.76 \times 10^{-3} \text{ m}$

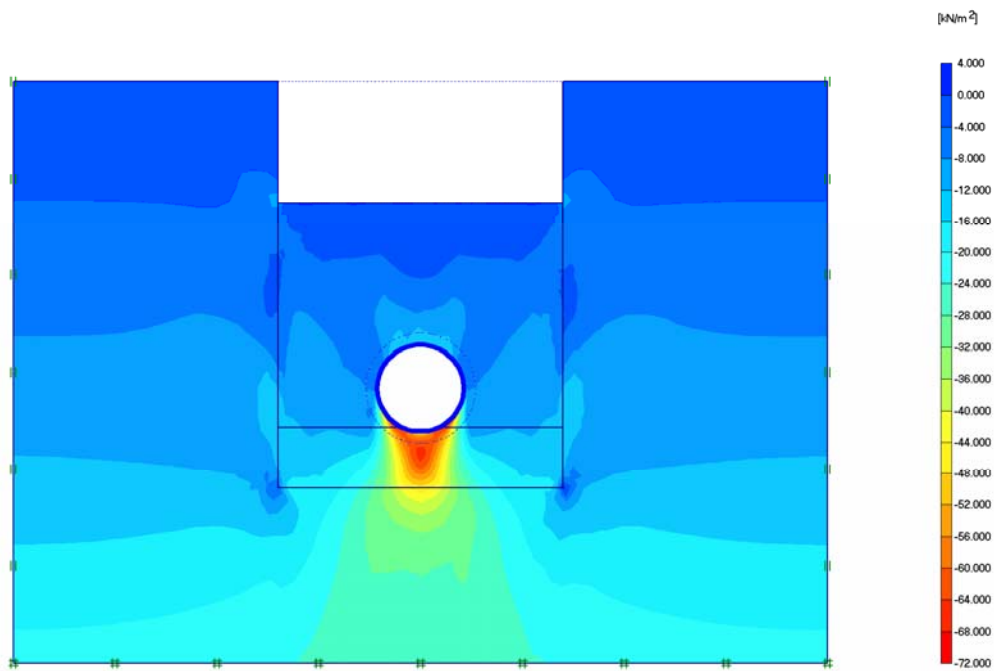


Bild 50: Phase 5 - Vertikale effektive Spannungen - Höchstwert -70.96 kN/m^2

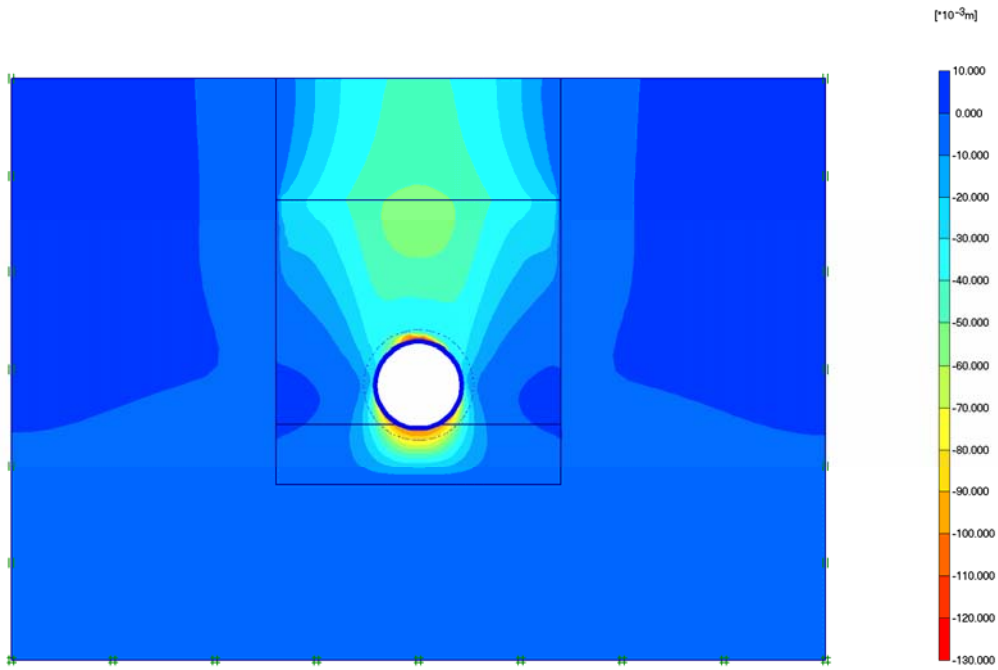


Bild 51: Phase 6 - Vertikalverschiebungen - Höchstwert $-124.85 \times 10^{-3} \text{ m}$

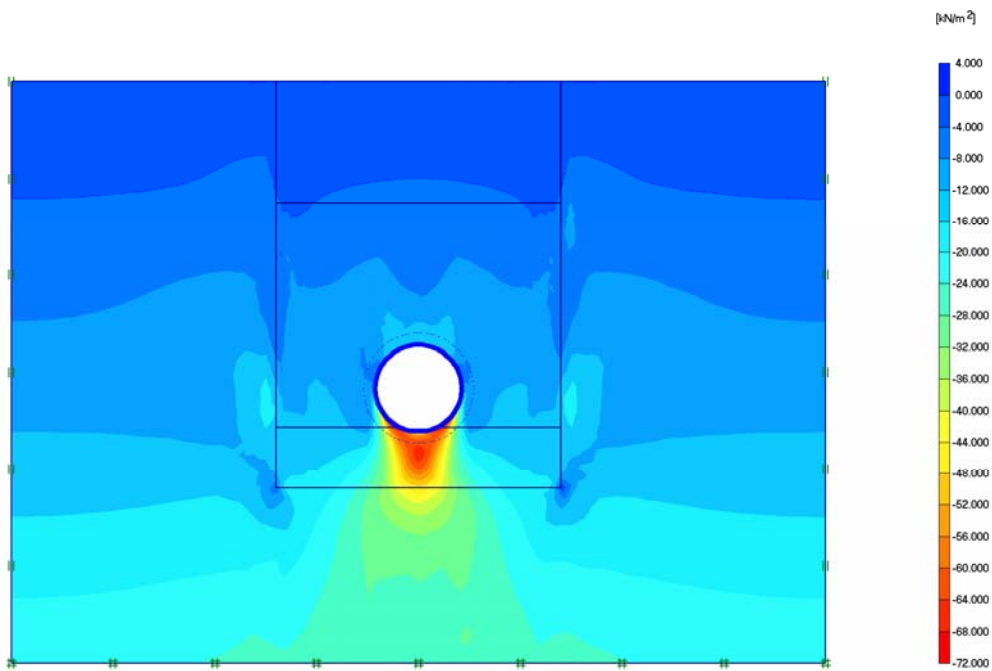


Bild 52: Phase 6 - Vertikale effektive Spannungen - Höchstwert -71.74 kN/m^2

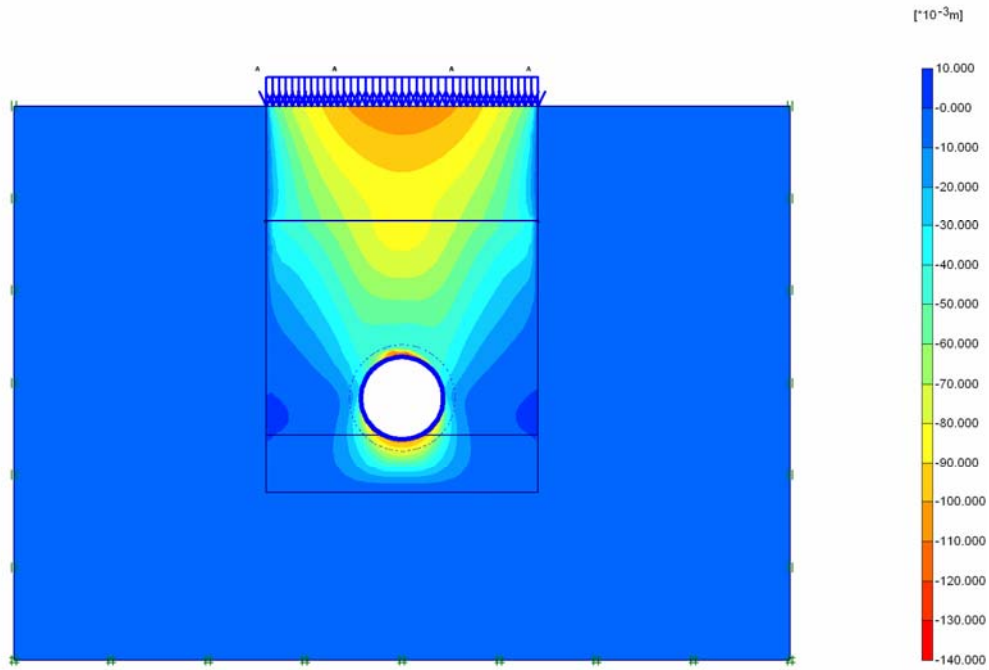


Bild 53: Phase 7 - Vertikalverschiebungen - Höchstwert $-131.94 \times 10^{-3} m$

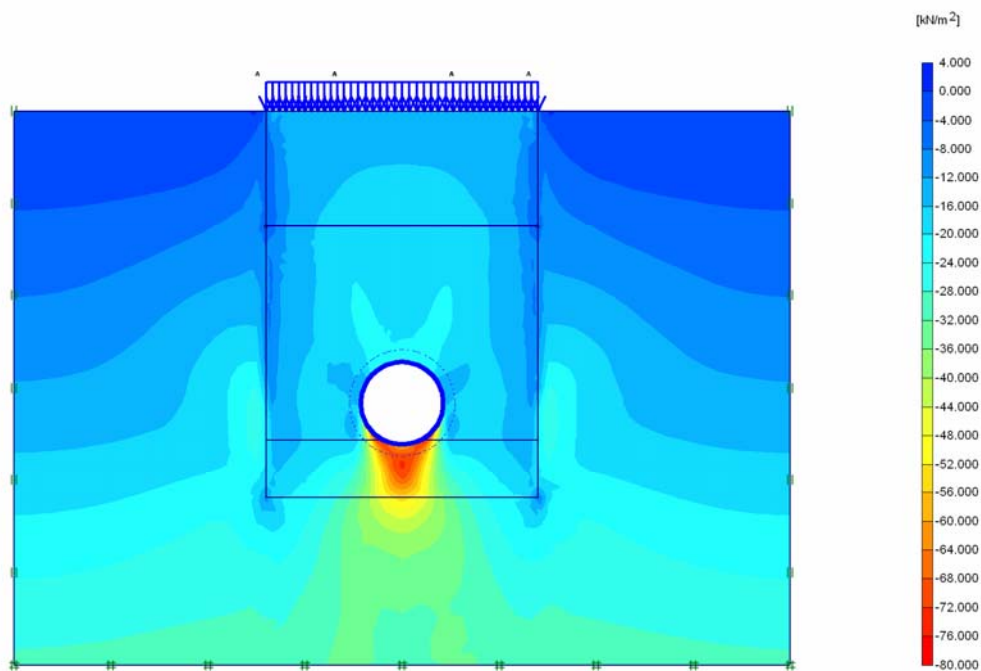


Bild 54: Phase 7 - Vertikale effektive Spannungen - Höchstwert -77.86 kN/m^2

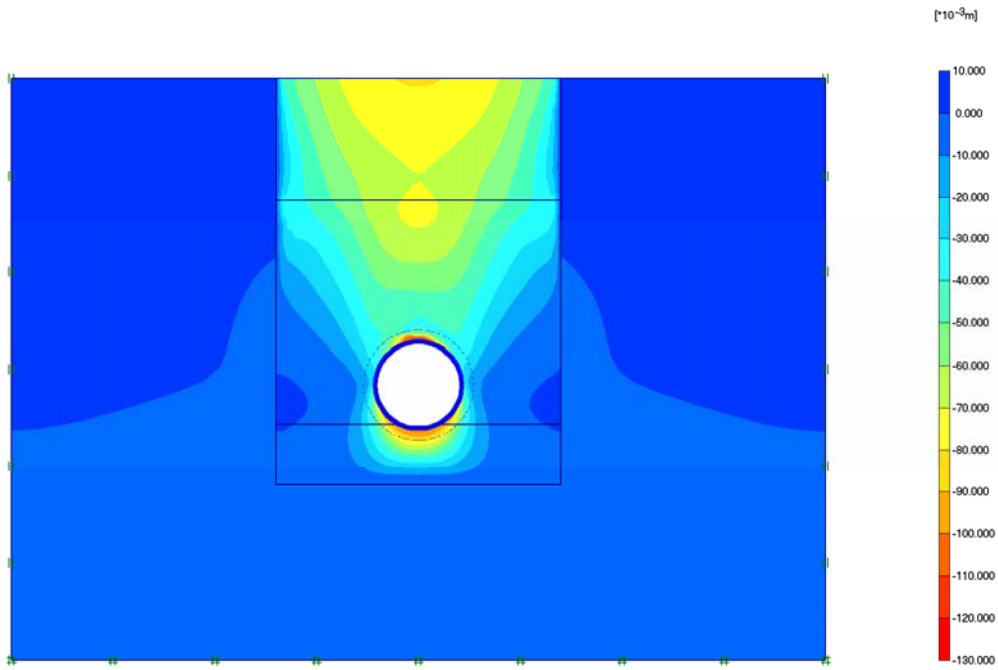


Bild 55: Phase 8 - Vertikalverschiebungen - Höchstwert $-128.27 \times 10^{-3} \text{ m}$

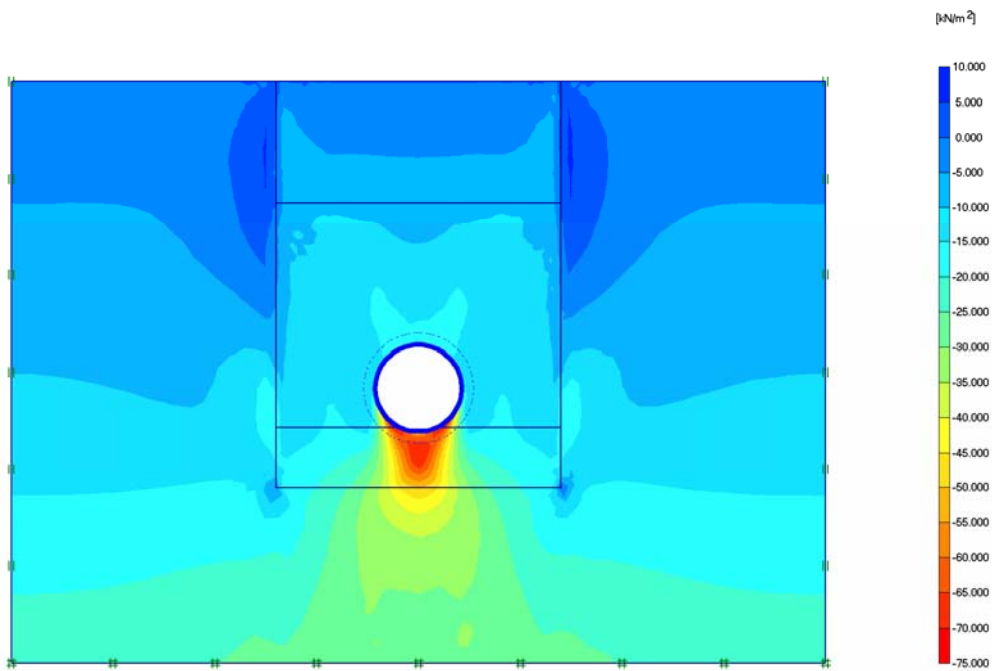


Bild 56: Phase 8 - Vertikale effektive Spannungen - Höchstwert -74.73 kN/m^2

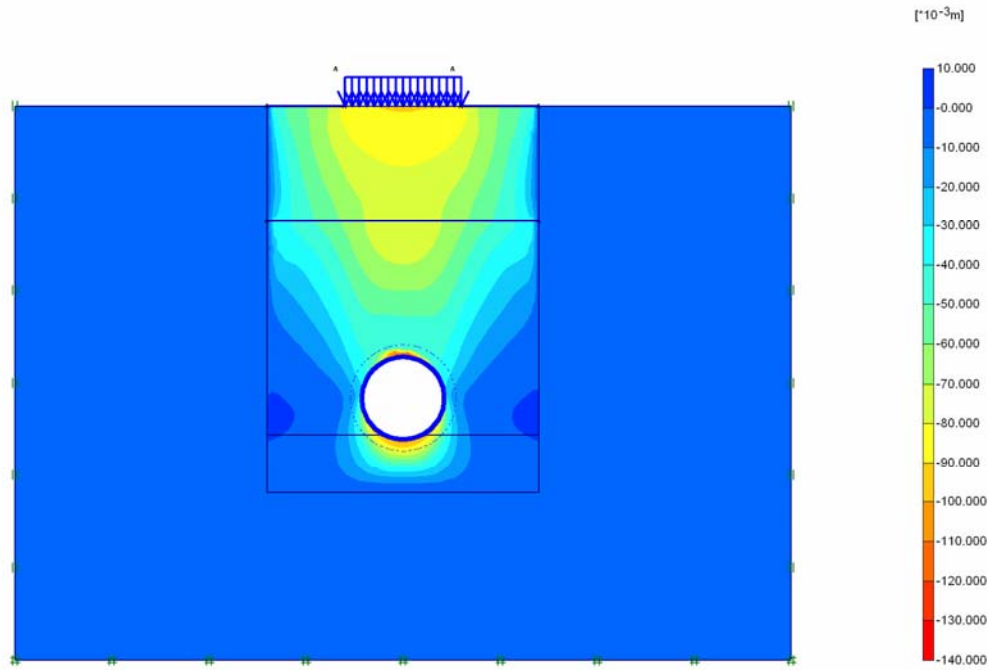


Bild 57: Phase 9 - Vertikalverschiebungen - Höchstwert $-130.13 \times 10^{-3} \text{ m}$

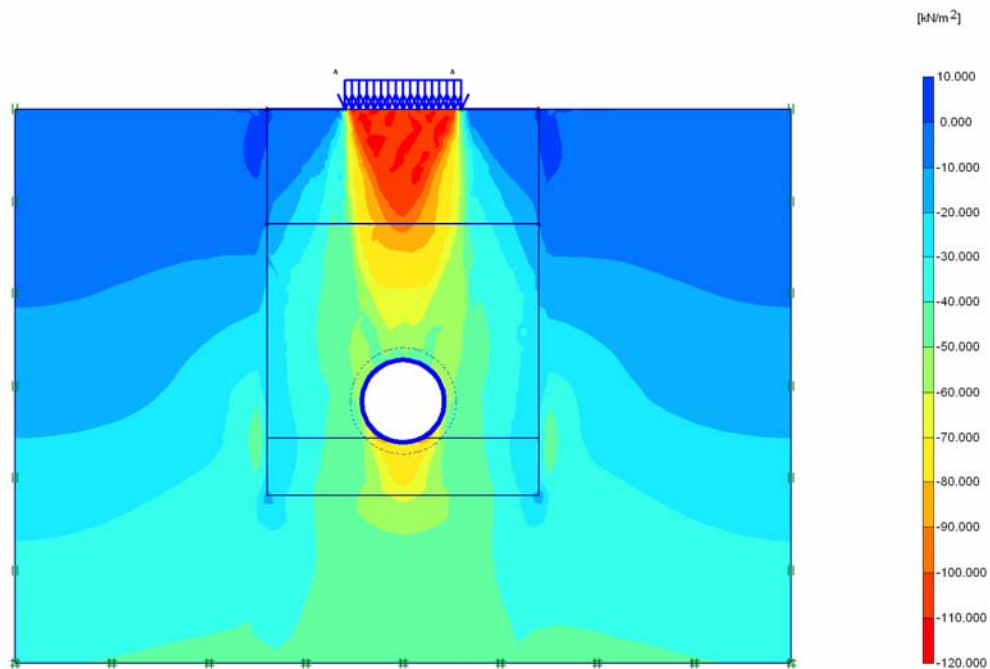


Bild 58: Phase 9 - Vertikale effektive Spannungen - Höchstwert -114.65 kN/m^2

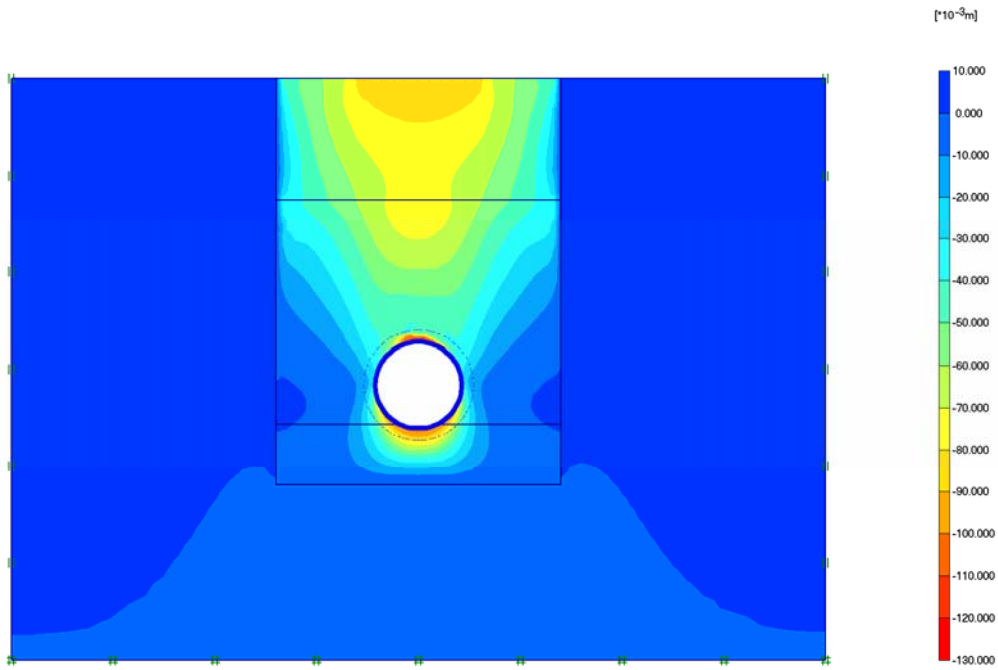


Bild 59: Phase 10 - Vertikalverschiebungen - Höchstwert $-129.17 \times 10^{-3} m$

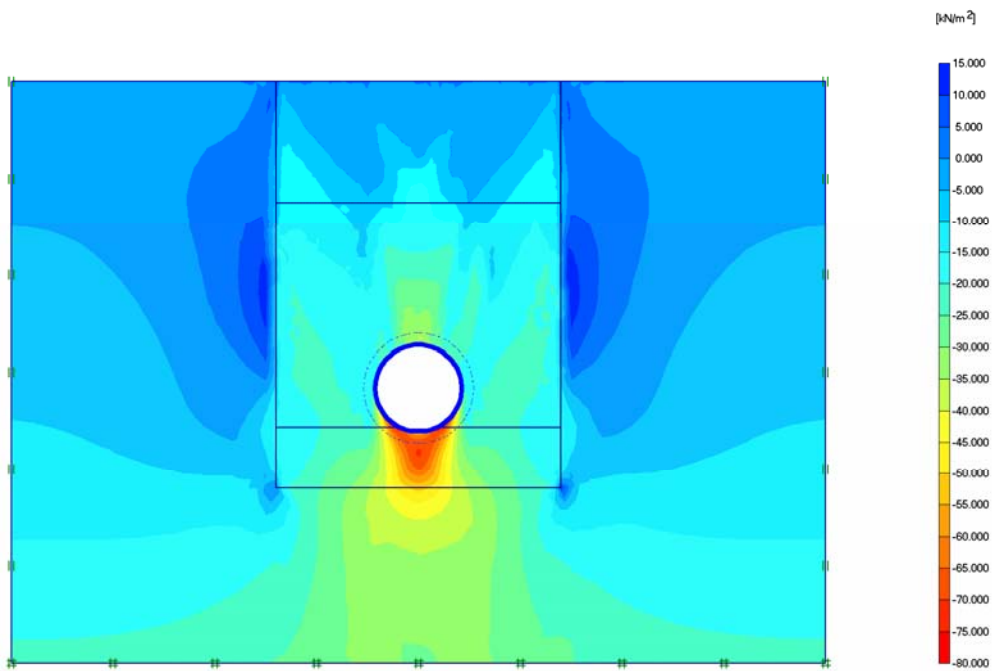


Bild 60: Phase 10 - Vertikale effektive Spannungen - Höchstwert $-75.97 kN / m^2$

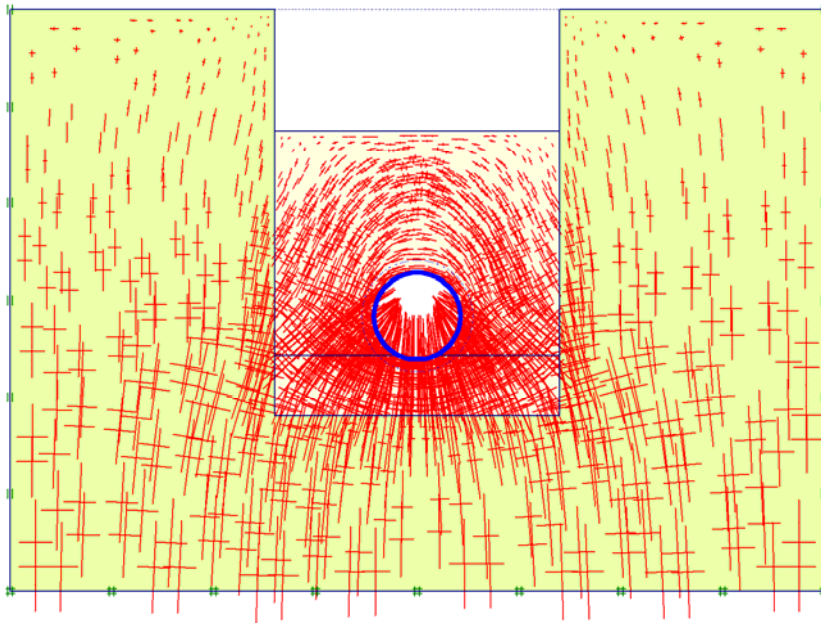


Bild 61: Phase 1 - Effektive Spannungen - Höchstwert der Hauptspannungen $-24.56 \text{ kN} / \text{m}^2$

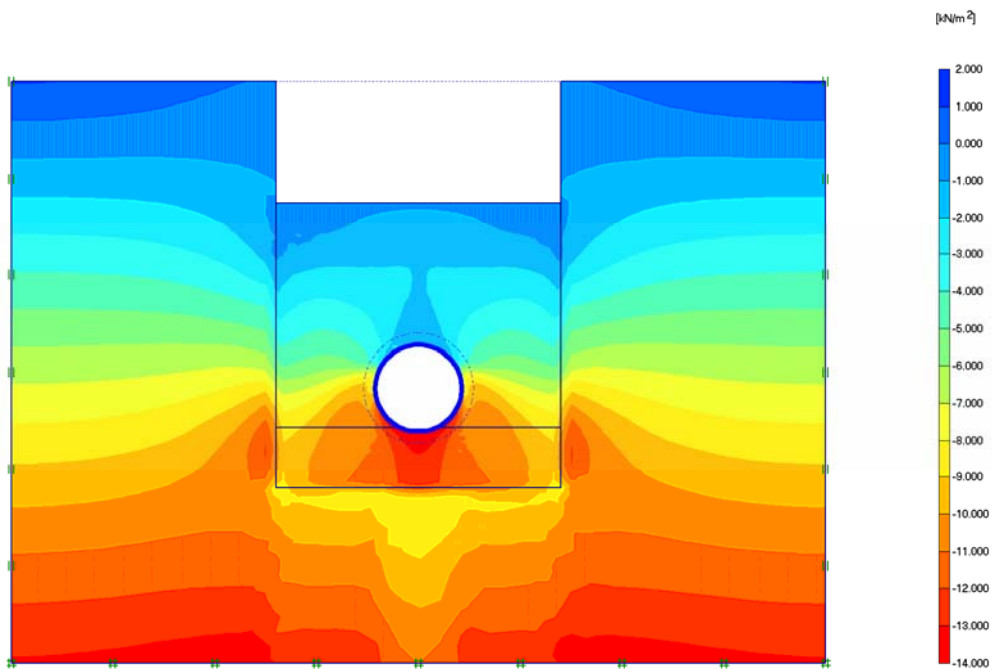


Bild 62: Phase 1 - Effektive Spannungen - Höchstw. d. isotropen Sp. $-13.77 \text{ kN} / \text{m}^2$

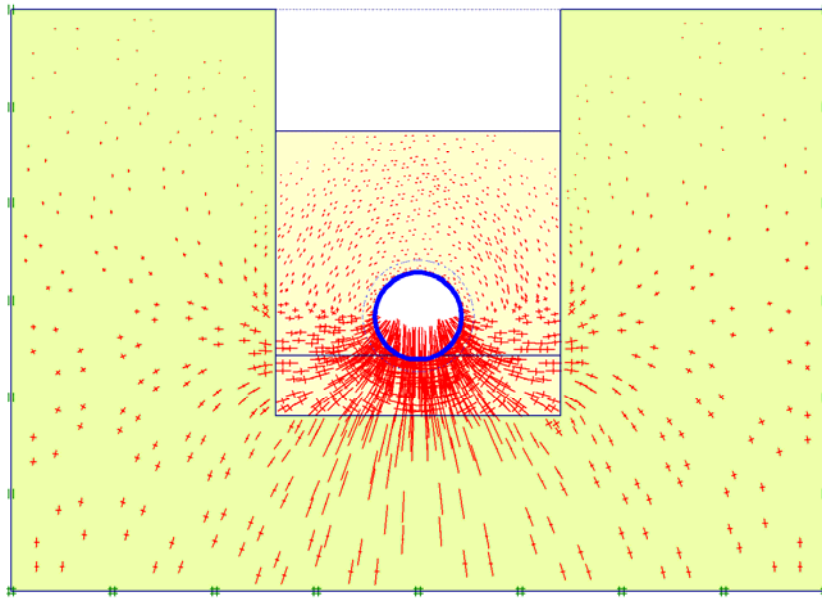


Bild 63: Phase 2 - Effektive Spannungen - Höchstwert der Hauptsp. $-173.45 \text{ kN} / \text{m}^2$

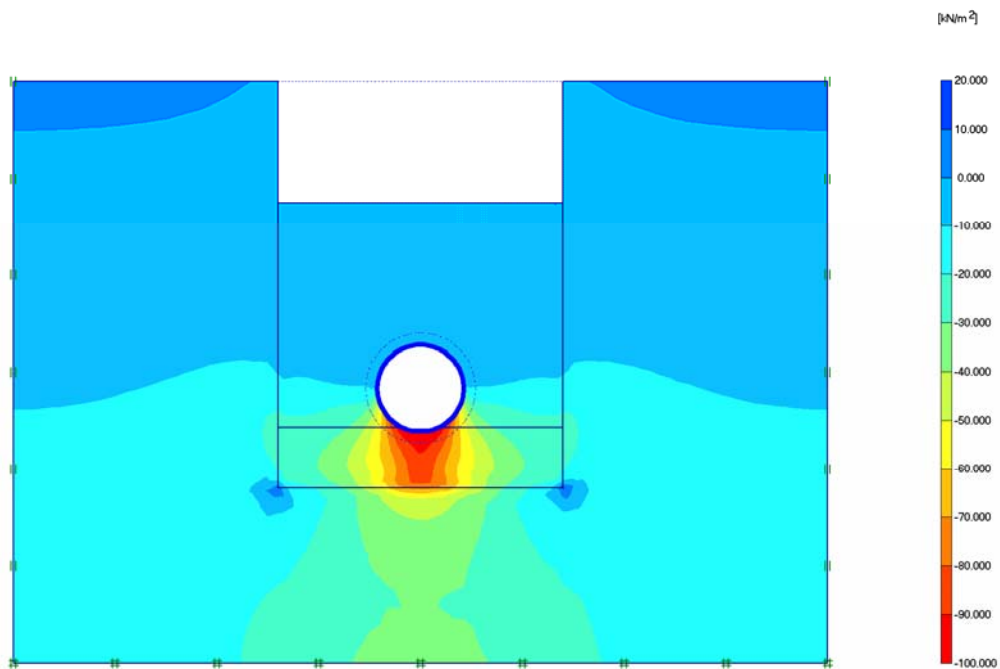


Bild 64: Phase 2 - Effektive Spannungen - Höchstw. d. isotropen Sp. $-96.27 \text{ kN} / \text{m}^2$

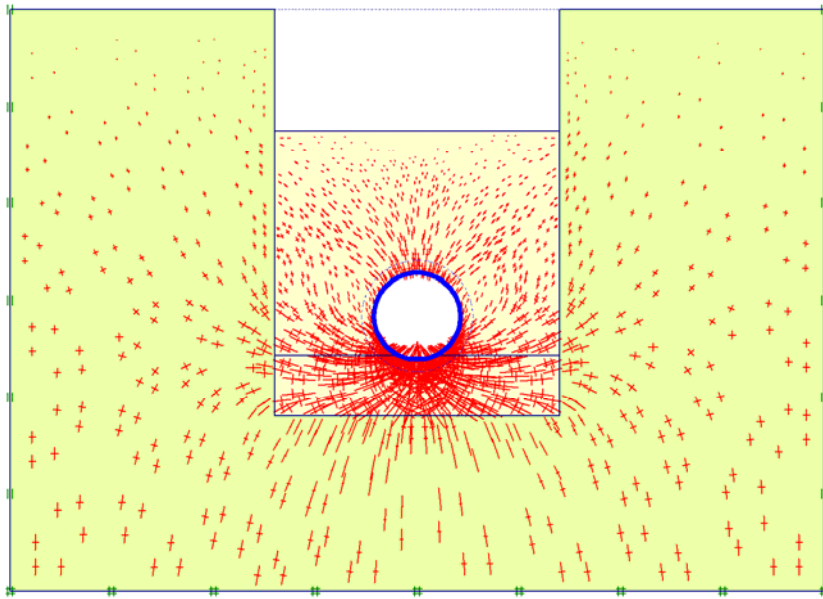


Bild 65: Phase 3 - Effektive Spannungen - Höchstwert der Hauptsp. $-103.47 \text{ kN} / \text{m}^2$

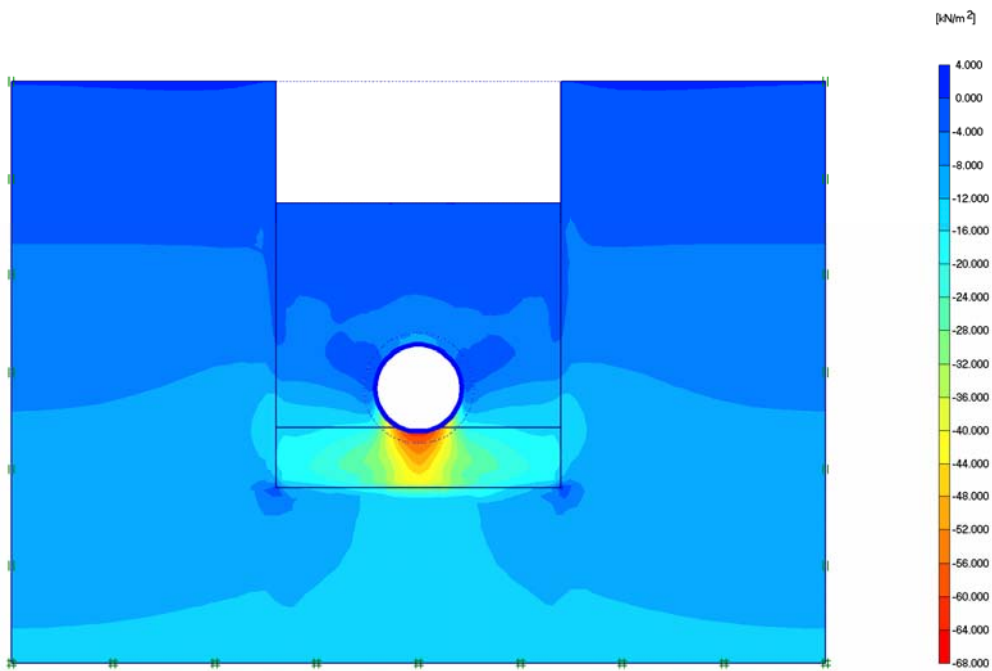


Bild 66: Phase 3 - Effektive Spannungen - Höchstw. d. isotropen Sp. $-64.57 \text{ kN} / \text{m}^2$

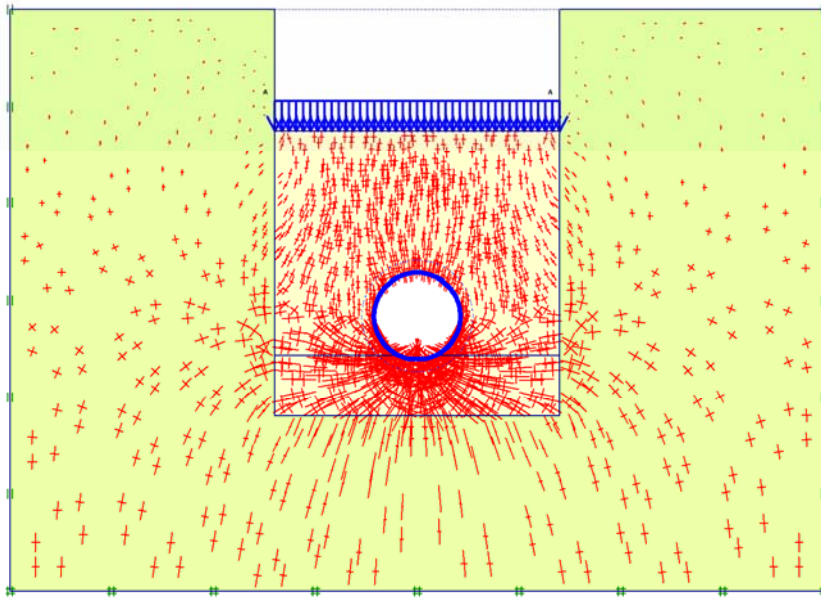


Bild 67: Phase 4 - Effektive Spannungen - Höchstwert der Hauptspannungen $-98.71 \text{ kN} / \text{m}^2$

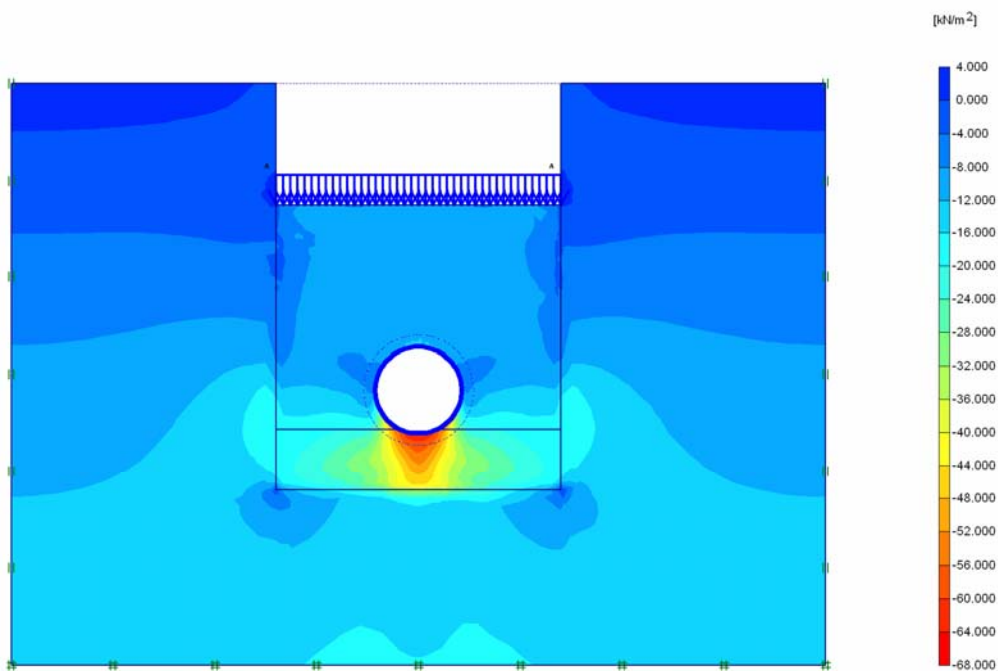


Bild 68: Phase 4 - Effektive Spannungen - Höchstw. d. isotropen Sp. $-65.36 \text{ kN} / \text{m}^2$

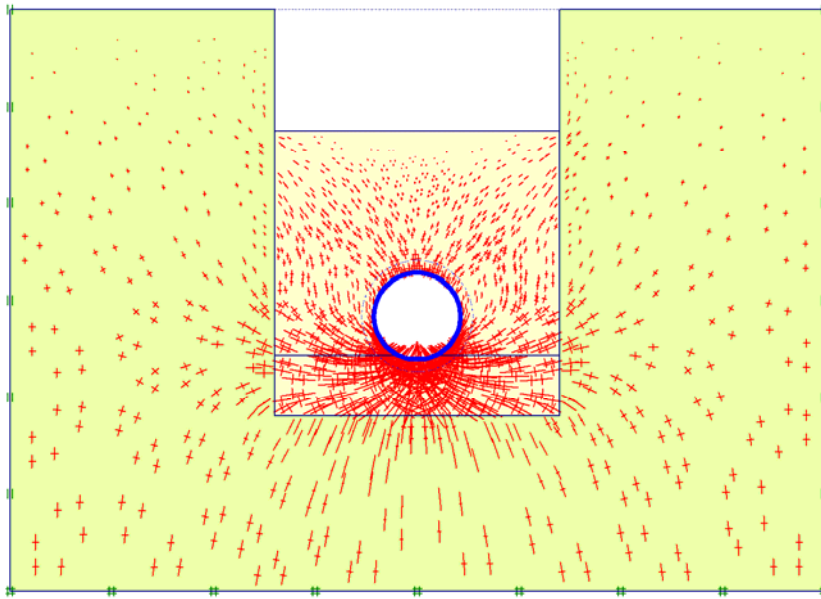


Bild 69: Phase 5 - Effektive Spannungen - Höchstwert der Hauptsp. $-103.99 \text{ kN} / \text{m}^2$

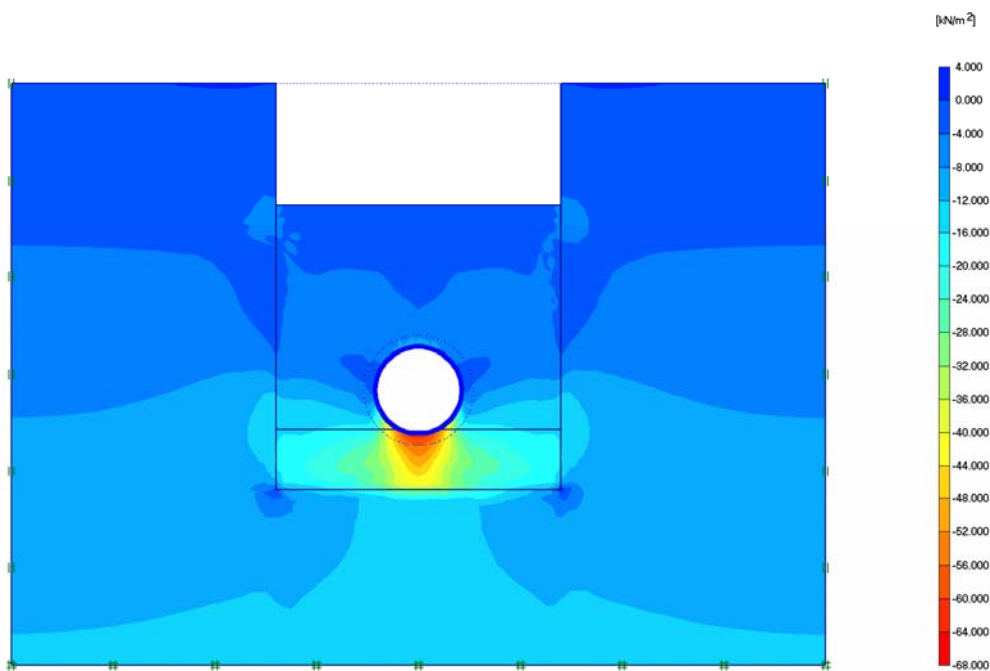


Bild 70: Phase 5 - Effektive Spannungen - Höchstw. d. isotropen Sp. $-64.63 \text{ kN} / \text{m}^2$

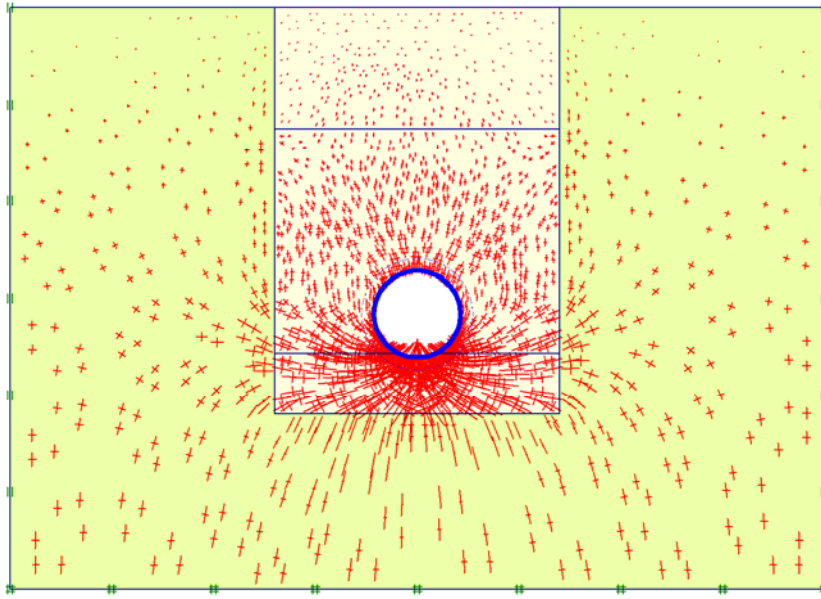


Bild 71: Phase 6 - Effektive Spannungen - Höchstwert der Hauptsp. $-102.81 \text{ kN} / \text{m}^2$

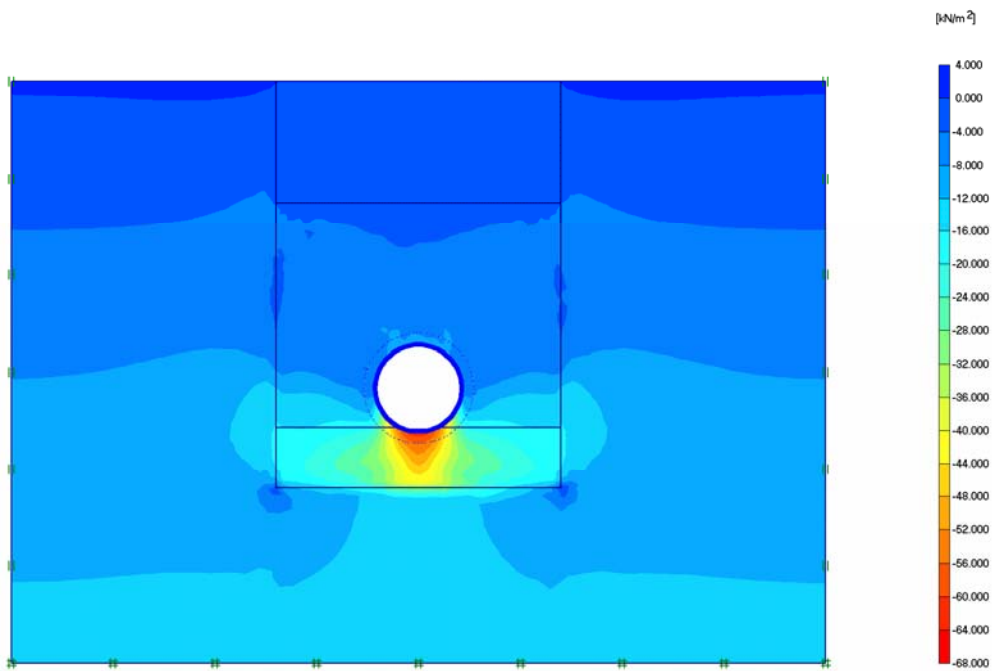


Bild 72: Phase 6 - Effektive Spannungen - Höchstw. d. isotropen Sp. $-64.42 \text{ kN} / \text{m}^2$

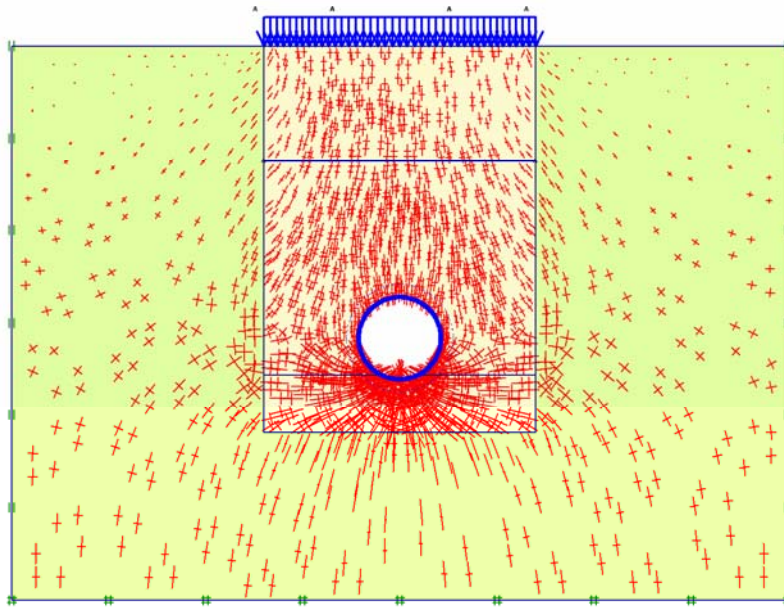


Bild 73: Phase 7 - Effektive Spannungen - Höchstwert der Hauptspannungen $-97.98 \text{ kN} / \text{m}^2$

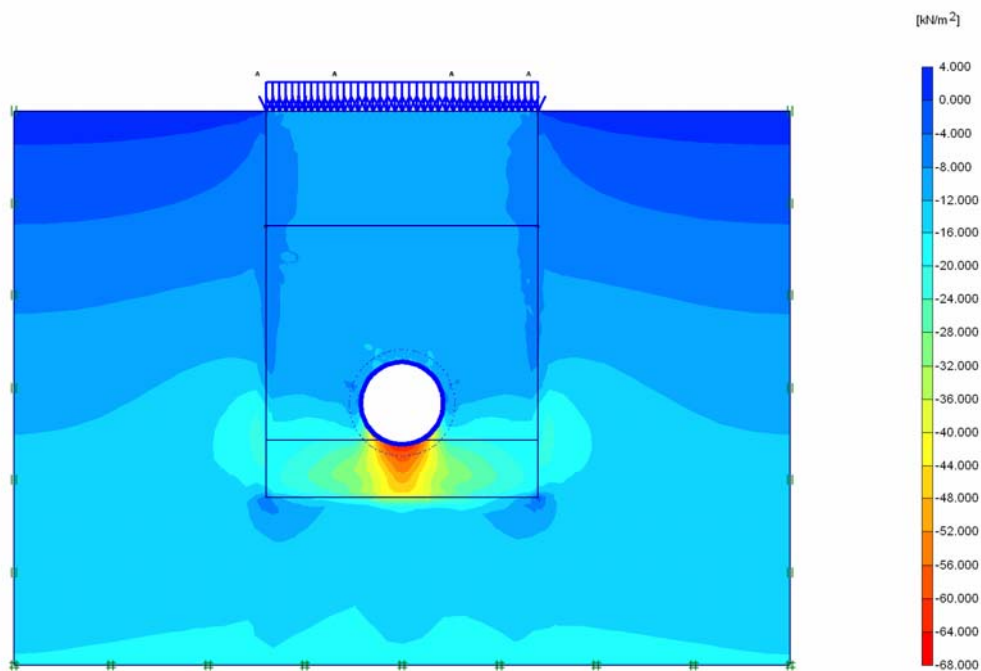


Bild 74: Phase 7 - Effektive Spannungen - Höchstw. d. isotropen Sp. $-65.13 \text{ kN} / \text{m}^2$

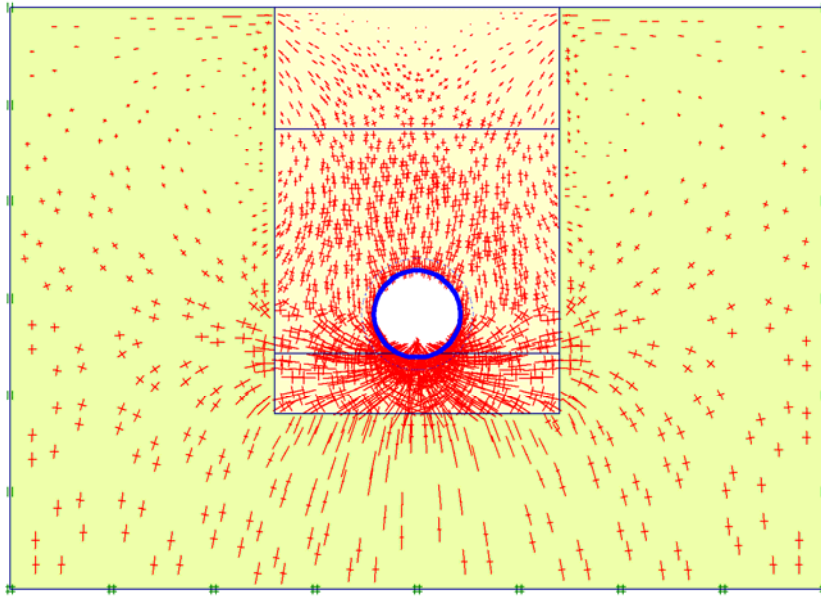


Bild 75: Phase 8 - Effektive Spannungen - Höchstwert der Hauptsp. $-100.34 \text{ kN} / \text{m}^2$

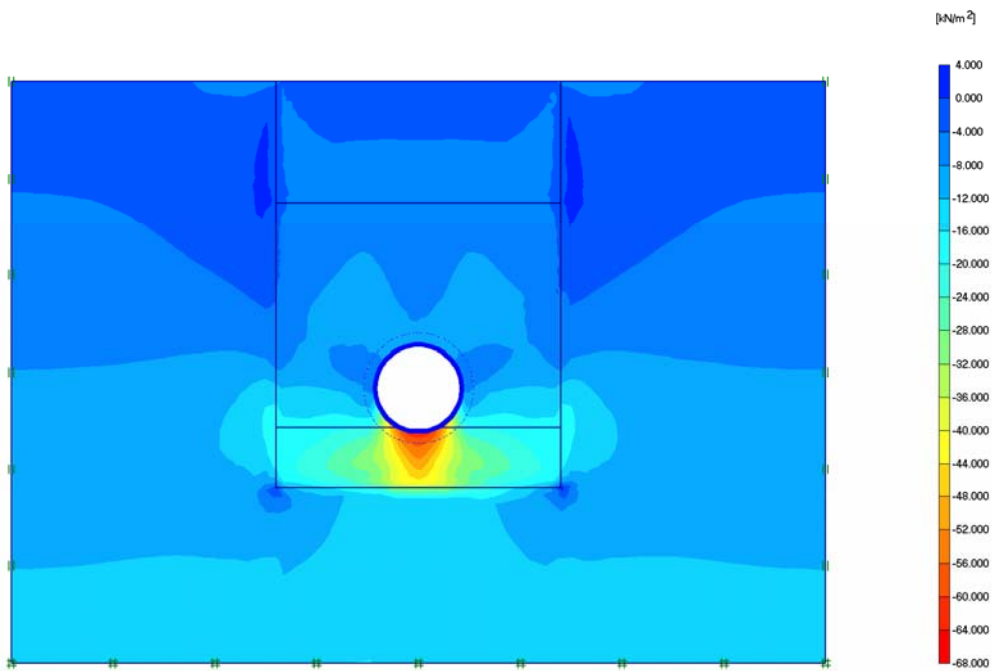


Bild 76: Phase 8 - Effektive Spannungen - Höchstw. d. isotropen Sp. $-64.80 \text{ kN} / \text{m}^2$

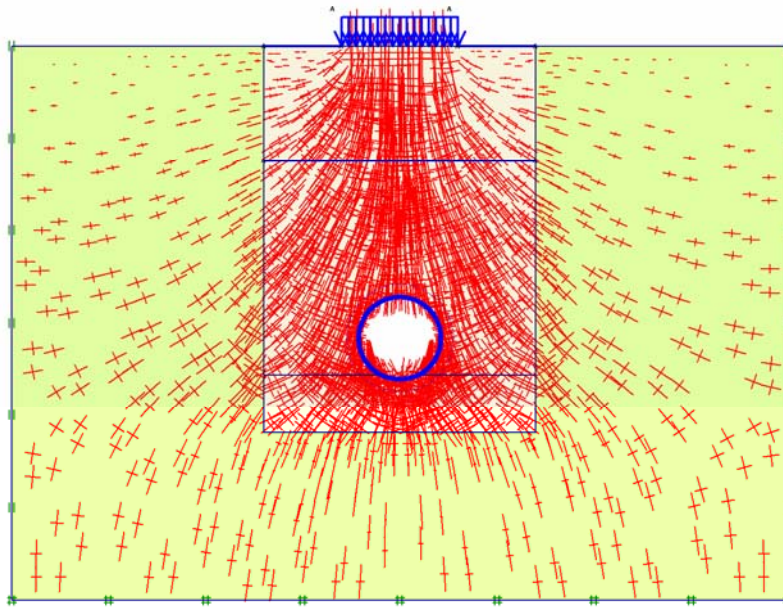


Bild 77: Phase 9 - Effektive Spannungen - Höchstwert der Hauptsp. $-120.84 \text{ kN} / \text{m}^2$

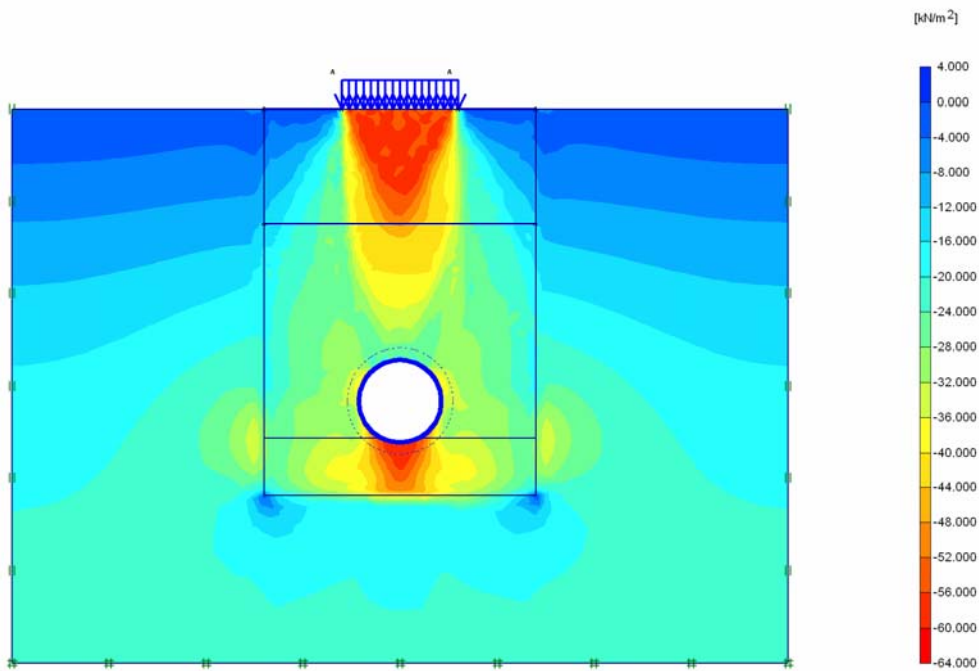


Bild 78: Phase 9 - Effektive Spannungen - Höchstw. d. isotropen Sp. $-60.18 \text{ kN} / \text{m}^2$

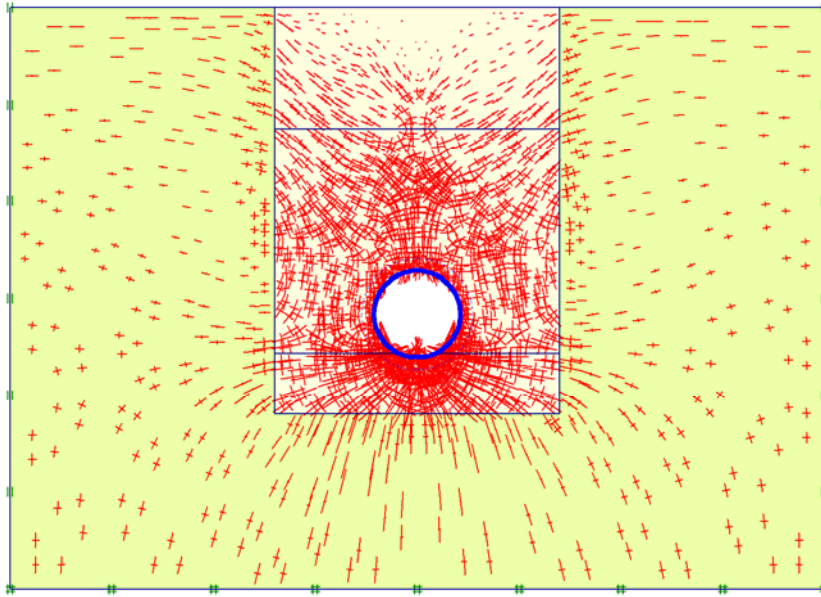


Bild 79: Phase 10 - Effektive Spannungen - Höchstwert der Hauptsp. $-91.75 \text{ kN} / \text{m}^2$

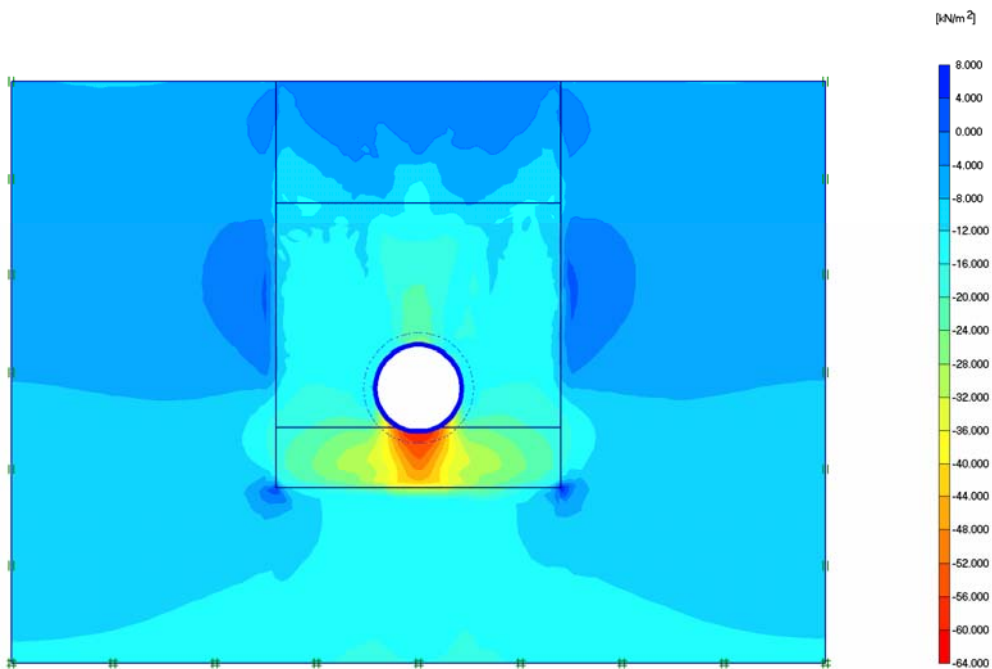


Bild 80: Phase 10 - Effektive Spannungen - Höchstw. d. isotropen Sp. $-61.91 \text{ kN} / \text{m}^2$